

МИНИСТЕРСТВО ГЕОЛОГИИ СССР
МИНИСТЕРСТВО ГЕОЛОГИИ РСФСР
ИРКУТСКОЕ ГЕОЛОГИЧЕСКОЕ УПРАВЛЕНИЕ

ГЕОЛОГИЧЕСКАЯ
КАРТА СССР

масштаба 1:200 000

Серия Бодайбинская

Лист О-49-ХХII

Объяснительная записка

Составители: Ю. К. Варзалов, В. Д. Белогур, Ю. А. Новокишионов
Редактор В. М. Таевский

Утверждено Научно-редакционным советом ВСЕГЕИ
20 февраля 1964 г., протокол № 5



ИЗДАТЕЛЬСТВО «НЕДРА»
МОСКВА 1969

ВВЕДЕНИЕ

Территория листа О-49-ХХII входит в Мамско-Чуйский район Иркутской обл. и ограничена координатами $57^{\circ} 20'$ — $58^{\circ} 00'$ с. ш. и $111^{\circ} 00'$ — $112^{\circ} 00'$ в. д. В геоморфологическом отношении она относится к переходной области от Северо-Байкальского нагорья к Приленской плоской возвышенности и обладает типичным расчлененным среднегорным рельефом. Основными орографическими единицами района являются водоразделы рек Бол. Чуй — Мамы и Бол. Чуй — Мал. Чуй, характеризующиеся чередованием куполовидных вершин с широкими седловинами. Абсолютные отметки возвышенностей достигают 1200—1350 м. отн. превышения рельефа колеблются от 200—300 м в северо-западной части территории до 600—700 м в южной.

Наиболее крупные реки района Бол. Чуй, Мал. Чуй, Канушка, и Калайка по характеру водного режима относятся к горному типу и характеризуются узкими, глубоко врезанными долинами, быстрым течением, обилием перекатов и порогов.

Климат района резко континентальный. Зима суровая и продолжительная, бедная осадками. Продолжительность снежного периода 8—9 месяцев (конец сентября — середина мая). Лето короткое, обычно жаркое и сравнительно сухое в первой его половине, дождливое — во второй. Среднегодовая температура — $5,2^{\circ}$.

В распределении растительности наблюдается вертикальная зональность. Поймы долин больших рек зарастают смешанным лесом и кустарником. Верхние части долин и их сухие склоны покрыты сосновой, лиственицей и кедром, увлажненные места склонов — елью. Выше отметок 800—900 м встречается почти исключительно лиственица. В гольцовской части ее сменяет кедровый стланик.

Основными путями сообщения являются автодорога Горно-Чуйский — Мама и автомобильный тракт, соединяющий пос. Горно-Чуйский с пос. Луговка. Путями сообщения внутри района служат горные тропы и немногочисленные грунтовые дороги.

Главную роль в экономике района играет добыча слюды, на базе которой вырос рудничный пос. Горно-Чуйский и небольшие поселки около слюдоразработок.

История геологических исследований тесно связана с изучением Мамско-Чуйских месторождений мусковита, известных с конца XVII в., однако наибольшего размаха геологические работы в районе достигли в последние 25—30 лет. Первая сводная геологическая карта масштаба 1 : 200 000, схематично отражающая основные черты геологического строения района, составлена М. Ф. Смирновым (1936). «Мамская толща» * подразделяется им на три отдела: нижний (кварцио-сланцевый), средний (гнейсовый) и верхний (известково-сланцевый) и участвует в строении пологой синклиналии, асимметричное строение которой обусловлено продольным сбросом в ядре структуры. В 1942—1943 гг. район посетил Н. П. Семененко. Он расчленил «мамскую толщу» на 9 свит и, следуя трехчленному делению М. Ф. Смирнова, объединил их также в три отдела (Семененко, 1948).

* Следует понимать объем и содержание до исследований В. М. Таевского 1953—1959 гг.

Результатом поисково-съемочных и разведочных работ 1941—1947 гг., проводившихся под руководством П. Н. Сучкова и В. М. Таевского, явилось открытие чуйской группы месторождений мусковита. Ими же впервые высказана мысль об одновозрастности отложений, слагающих крылья Мамского синклиниория (Сучков, Таевский, 1948).

Детализацию геологического строения района произвела в процессе специальных тематических работ группа геологов, возглавляемая Н. А. Львой и М. А. Завалишиным (1954), а позднее В. П. Васильевой (1954, 1956). Авторы устанавливают цикличность и тонкую ритмичность в осадконакоплении «мамской толщи», по своему характеру приближающуюся к ритмичности флиша, и выделяют в ней 26 горизонтов.

В 1957—1959 гг. в северо-западной части площади листа вел исследования В. К. Головенок, который выделил ряд свит в составе среднего (актинянская серия) и верхнего (патомская серия) протерозоя.

Перечисленные исследования внесли большой вклад в дело изучения и геолого-промышленного освоения района. Тем не менее многие вопросы геологии оставались дискуссионными и по существу глубоко разработанной единой схемы стратиграфии, тектоники и вулканизма не было.

Основу современных представлений о геологическом строении района составили планомерные геологические съемки м-ба 1 : 200 000, которые начали проводиться в нагорье с 1953 г. Из материалов, наиболее близко касающихся площади листа О-49-ХХII, следует отметить исследования В. М. Таевского с сотрудниками, проведенные в 1953—1959 гг. на территории листов О-49-ХХIII и О-49-ХХIV (Таевский и др., 1959, 1960). В итоге этих исследований «мамская толща» была подразделена на три разновозрастные части, соответствующие нижнему и верхнему комплексам протерозоя.

Доказан единый цикл седиментации мамской, кадаликанской и бодайбинской подсерий, объединенных в патомскую серию верхнего протерозоя. Выявленна постепенная смена ступеней метаморфизма в отложениях, слагающих крылья Мамского синклиниория (бассейн р. Лульмы), что явилось основой для их сопоставления. Выяснены взаимоотношения интрузивных комплексов между собой и с вмещающими их отложениями. Угольканский (выделенный впервые), чуйско-кодарский и муйский комплексы отнесены к нижнему протерозою, мамско-оронский — к верхнему и конкудеро-мамаканский к нижнему палеозою. Установлены границы потенциальной слюдоносности и определены перспективы района на другие виды полезных ископаемых. Эти данные получили отражения на принятых к изданию в 1960 г. геологических картах территории листов О-49-ХХIII и О-49-ХХIV и, наряду с материалами других исследователей нагорья (Тихонов, 1956; Салоп, 1958; Головенок, 1957—1960), легли в основу сводной унифицированной легенды по Бодайбинской серии листов. Смежные с запада и севера листы О-49-ХХI (автор Л. В. Ревякин) и О-49-ХХVI (автор О. В. Перевалов) находятся в стадии подготовки к изданию.

При составлении геологической карты территории листа приняты материалы геологической съемки, проведенной в 1961—1963 гг. Ю. К. Варзаловым, В. Д. Белогуровом, Ю. А. Новокшоновым и др. Эти работы подтвердили и несколько уточнили схему стратиграфии, тектоники и магматизма, предложенную В. М. Таевским (1959). Чуйская толща муйской серии впервые расчленена авторами на две свиты — нерукансскую и чуйскую. Среди гранитов «чуйского гранитного поля» на основании непосредственных геологических наблюдений, геохимических и петрохимических особенностей выделены каларский, угольканский, три фазы чуйско-кодарского и три фазы ирельского комплексов. Установлены границы потенциальной слюдоносности района. Для составления геологической карты бассейнов рек Чуйское Олонгро, Чуйский Давчакит и Мочикит использованы материалы геологической съемки м-ба 1 : 50 000 В. П. Васильевой (1956), А. Д. Смыкова (1960), В. Н. Шарова (1962) и др. Учтены также данные аэрогеофизических исследований, проведенных на восточной половине территории листа партией конторы «Востсибнефтегеофизика» под руководством В. И. Никулина (1962). При работах партии применялось де-

шифрирование аэрофотоматериалов и опонкование территории листа шлиховым и металлометрическим опробованием. Проводилось также и радиометрическое исследование пород.

СТРАТИГРАФИЯ

Исследования, проведенные авторами на территории листа, подтверждают схему стратиграфии, предложенную для соседних с востока листов О-49-ХХIII и О-49-ХХIV В. М. Таевским (1959). Эта схема отвечает современным обще-региональным представлениям.

В геологическом строении изученного района принимают участие в различной степени метаморфизованные образования нижнего, среднего и верхнего комплексов протерозоя и, кроме того, отложения кембрийской и четвертичной систем.

НИЖНИЙ КОМПЛЕКС ПРОТЕРОЗОЯ

Отложения нижнего комплекса протерозоя распространены в центральной части территории листа. Они соответствуют чуйской толще, выделенной (Таевский и др., 1959) на соседнем к востоку листе из состава «мамской кристаллической полосы» в качестве аналога верхней (килянской) подсерии муйской серии, впервые выявленной и изученной в Средне-Витимской горной стране (Салоп, 1954; Тихонов, 1957). Нижняя возрастная граница подсерии в пределах площади листа не определена, но в бассейне рр. Самокута и Булунды (Средне-Витимская горная страна) она определяется согласным залеганием отложений «килянской толщи» на образованиях булундинской свиты нижней подсерии муйской серии (Салоп, 1954; Тихонов, 1957). Верхняя возрастная граница образований верхней подсерии определяется несогласным налеганием на них (бассейн р. Пуриканы) отложений среднепротерозойского возраста.

Работами авторов образования верхней подсерии муйской серии (чуйская толща) в 1962 г. разделены на две свиты — нерукансскую, существенно терригенную, и согласно перекрывающую ее чуйскую-эффузивно-терригенную. Подобное деление одновременно произвел Л. В. Ревякин на соседней к западу территории (Ревякин, 1963).

МУЙСКАЯ СЕРИЯ

Верхняя подсерия

Неруканская свита (Pt₁, nr)

Образования неруканской свиты прослеживаются широкой полосой (6—10 км) северо-восточного простирания в бассейнах рек Петероку, Нерукана и Прав. Брамы. Породы свиты, участвующие в строении юго-восточного крыла Чуйского антиклиниория, сильно метаморфизованы и интенсивно насыщены согласными телами гнейсо-гранитов угольканского комплекса. В центральной части и в северо-западном крыле Чуйского антиклиниория (бассейны рек Мал. Чунь, Калайки и Лев. Брамы) отложения неруканской свиты сохранились лишь в виде ксенолитов среди поля чуйско-кодарских гранитондов. Метаморфизованы они несколько слабее, чем в юго-восточном крыле, и в них отсутствуют тела гнейсо-гранитов угольканского комплекса. Большая часть разреза неруканской свиты сложена полимиктовыми, кварцевыми и кварцитовидными песчаниками. Подчиненное значение имеют метаморфизованные эфузивы, ортоамфиболиты, гранато-биотито-кварцевые и биотито-кварцевые, двуслюдянные и силлиманито-биотито-кварцевые сланцы. Наиболее представительный разрез свиты наблюдается в бассейнах рек Мал. Чунь, Нерукана и Петероку (снизу вверх):

- | | |
|-------------------------------------------------------------------------------------------------|-------|
| 1. Зеленовато-серые и серые мелко- и среднезернистые кварц-полевошпатовые и кварцевые песчаники | 400 м |
| 2. Биотито-кварцевые и силлиманито-биотито-кварцевые сланцы и гнейсы | 350 " |

3. Светло-серые метаморфизованные эфузивы	250 м
4. Серые средне- и мелкозернистые полимиктовые, кварцевые и кварцитовидные песчаники, двуслюдянные, гранато-биотитово-кварцевые и биотито-кварцевые сланцы	450 ..
5. Ортоамфиболиты	100 ..
6. Мелкозернистые полимиктовые и кварцитовидные песчаники	150 ..
Общая мощность разреза свиты	1700 м.

Полимиктовые и кварц-полевошпатовые песчаники наиболее характерны для нижней части разреза свиты. Цвет их светло-, зеленовато- или буровато-серый, структура псаммитовая и бластопсаммитовая. Состав обломочных зерен (75—80% объема породы) следующий: кварц (60—80%), полевые шпаты (10—30%), роговая обманка, пироксен. В качестве акцессорных минералов присутствуют магнетит, циркон и апатит. В полимиктовых песчаниках присутствует до 10% биотита. Цемент серцито-хлоритовый, в некоторых разновидностях кварцевый или кварц-полевошпатовый с примесью слюд и гидроокислов железа.

Кварцевые и кварцитовидные песчаники характеризуются желтовато-белым, кремовым и серым цветом. Состоят они из кварца (90—95%) и чешуек серциита или биотита (5—10%). Структура псаммитовая, иногда катабластическая с реликтами псаммитовой. В зоне контакта с гранитоидами чуйско-кодарского комплекса песчаники переходят в кварциты и контактовые роговики.

Метаморфизованные эфузивы имеют светло-, зеленовато- и розовато-серую окраску. Представлены они фельзитами и фельзит-порфирами, имеющими следующий минеральный состав: плагиоклаз, кварц, апатит, хлорит, серциит, лейкооксен, биотит и эпидот. Первые два минерала в фельзит-порфирах составляют вкрапленники, остальные содержатся в основной массе породы. Структура фельзитов катакластическая, реликтовая криптофельзитовая и фельзитовая. Структура фельзит-порфирировая, порфирировая, основной массы — микроаллотропоморфозернистая, криптофельзитовая и фельзитовая с наложенной катакластической.

Ортоамфиболиты слагают линзы протяженностью до 2—3 км. Их контакты с вмещающими породами согласные и резкие. Цвет пород зеленовато-черный, структура нематобластовая с реликтами ойтовой, текстура — сланцеватая. Главными минералами ортоамфиболитов являются обыкновенная роговая обманка (50—60%) и плагиоклаз (40—45%), чаще всего альбитизированный основной андезин, замещаемый агрегатом соссюрита. Прочие минералы представлены хлоритом, цоизитом, эпидотом и биотитом. В виде акцессорной примеси встречаются ильменит и титаномагнетит с оторочками сфена.

Гранат-биотито-кварцевые и биотито-кварцевые сланцы имеют серую и темно-серую окраску, лепидо-, грано- и порфиробластическую структуры и сланцеватую текстуру. Состав их однообразен, однако количественные содержания минералов варьируют в широких пределах: кварц (30—70%), биотит (10—40%), гранат (до 10%), андезин (2—7%), магнетит (2—5%). В качестве акцессорных минералов присутствуют апатит и циркон (в сумме 1%).

Двуслюдянные сланцы отличаются от вышеописанных значительным содержанием мусковита (10—20%). Силлиманито-биотито-кварцевые сланцы слагают очень маломощные (десятка сантиметров) прослои и линзы среди песчаников. Для них характерен серый цвет, полосчатая и сланцеватая текстура. Структура пород фиброгран-областовая, участками спутанноволокнистая. Минеральный состав сланцев определяется присутствием кварца (до 70%), биотита (10—25%), мусковита (5—8%), фибролита (5—7%) и акцессорных минералов — циркона и магнетита (до 1%).

Чуйская свита (Pt, cs)

Залегает согласно на мелкозернистых полимиктовых песчаниках неруканской свиты. Наибольшее распространение отложения чуйской свиты получили в бассейне р. Бол. Чуй и ее притоков: Соболевки, Брамы, Тукулаха и

Тыкши. Здесь они, слагая юго-восточное крыло Чуйского антиклиниория, обильно пронизаны лейкократовыми гнейсо-гранитами угольканского комплекса, собраны в мелкие линейные складки и имеют северо-восточное простиранье при общем моноклинальном падении на юго-юго-восток. В бассейнах рек Карайки и Канушки отложения чуйской свиты участвуют в строении северо-западного крыла Чуйского антиклиниория и наблюдаются в ксенолитах среди поля чуйско-кодарских и ирельских гранитондов.

Контакты пород чуйской свиты с гранитоидами чуйско-кодарского и ирельского комплексов повсеместно крутые и резкие. Эзоконтактовые изменения заключаются в ороговиковании, окварцевании и незначительной фельшпатизации. Контакты же с гранитоидами угольканского комплекса согласные, обычно не четкие, реже согласно секущие.

В полном разрезе свиты, изученном нами в юго-восточном крыле Чуйского антиклиниория, наблюдается следующее чередование пород (снизу вверх):

1. Среднезернистые мигматиты и темно-серые гранато-биотитовые гнейсы	300 м
2. Светло- и темно-серые мелкозернистые гранато-биотитовые гнейсы, сланцы и мигматиты	500 ..
3. Мигматиты с маломощными горизонтами и линзами сланцев, амфиболитов и амфиболово-биотитовых гнейсов	600 ..
4. Чередование различных мигматитов, биотитовых и гранато-биотитовых гнейсов, сланцев и гнейсо-песчаников, амфиболово-биотитовых и амфиболовых гнейсов, эпидото-хлорито-кварцевых сланцев и амфиболов	700 ..

Общая мощность свиты здесь составляет 2100 м.

Отложения чуйской свиты, слагающие ксенолиты в пределах северо-западного крыла Чуйского антиклиниория, представлены чередованием различных туфов с прослоями туффитов и туфопесчаников. По данным Л. В. Ревякина (1962), аналогичные породы сопоставляются с 3 и 4 пачками вышеприведенного разреза.

Биотитовые и гранато-биотитовые гнейсы представлены мелко- или среднезернистыми породами светло- и темно-серого цвета. Минеральный состав их: плагиоклаз (15—25%), микроклин (25—55%), кварц (10—20%), биотит (15—20%). В гранато-биотитовых разновидностях отмечается гранат (до 15%). В качестве акцессорных минералов присутствуют циркон, магнетит, сфеен, апатит и ортит. Вторичные минералы — хлорит, эпидот, серциит и зеленый биотит. Структура пород гранобластовая и лепидогранобластовая с участками порфиробластовой, текстура — гнейсовая.

Амфиболово-биотитовые и амфиболовые гнейсы представлены темно-серыми, до зеленовато-черных, мелко- и среднезернистыми полосчатыми породами, обладающими гранобластовой, иногда лепидобластовой и порфиробластовой структурами. Главными минералами в них являются полевые шпаты (30—60%), кварц (10—20%), амфибол и биотит (вместе взятые они составляют 15—30%), иногда присутствует гранат. Акцессорные минералы: циркон, апатит, рудный и ортит. Вторичные минералы представлены эпидотом, хлоритом, серциитом и актинолитом. В зонах катаклаза и милонитизации гнейсы приобретают бластомилонитовую или порфирокластическую структуры.

Мигматиты чуйской свиты тесно связаны с гнейсо-гранитами угольканского комплекса. Из морфологических разновидностей значительно преобладают послойные мигматиты; теневые, ветвистые и птигматитовые мигматиты встречаются редко. Весьма характерна зависимость между составом гранитного материала мигматитов и их субстрата. В гранато-биотитовых мигматитах субстратом являются гранато-биотитовые гнейсы с небольшим содержанием кварца и плагиоклаза. Гранитный материал представляет собой пластовые инъекции, состоящие из ксенобластического агрегата олигоклаза и кварца с переменным количеством зерен микроклина, биотита и граната. Два последних минерала аналогичны по своим оптическим свойствам биотиту и гранату во вмещающих гнейсах. В мигматизированных амфиболовых гнейсах гранитный материал сложен кварц-андезитовым агрегатом иногда пегматоидного

строения, содержащим отдельные призматические зерна роговой обманки, очень близкой по своим оптическим константам к роговой обманке вмещающих пород.

Таким образом, гранитный материал мигматитов отличается от субстрата только структурой и количественными соотношениями между пордообразующими минералами, во всем же другом между ними обнаруживается очень близкое родство. Это позволяет считать жильный материал продуктом ультраметаморфической переработки самих вмещающих пород, без участия посторонних магматических инъекций.

Кристаллические сланцы в разрезе свиты слагают прослон и линзы различной мощности. Для них характерно мелкозернистое сложение, полосчатая текстура, серый, буровато-зеленовато-серый и темно-зеленый цвет. По минеральному составу выделяются двуслюдяные, гранато-биотито-кварцевые, биотито-кварцевые, эпидото-хлорито-кварцевые, плагиоклазо-гранато-хлоритовые и плагиоклазо-хлоритовые сланцы. Первые три разновидности по составу и текстурно-структурным особенностям совершенно аналогичны одноименным породам, описанным в составе отложений неруканской свиты. Для эпидото-хлорито-кварцевых сланцев характерно значительное содержание амфиолита и кварца, тонкое рассланцевание, светло-зеленый и зеленовато-серый цвет. Для плагиоклазо-гранато-хлоритовых и плагиоклазо-хлоритовых сланцев характерно замещение полевых шпатов серицитом и карбонатом, а темноцветных минералов — хлоритом и клиноцизитом. Преобладающими структурами для них являются грано- и нематобластическая, в эпидото-хлорито-кварцевых сланцах улавливаются реликты туффитовой.

Ортоамфиболиты слагают маломощные тела в верхней части разреза чуйской свиты, согласные с вмещающими их амфиболовыми гнейсами и эпидото-хлорито-кварцевыми сланцами. Ассоциация их с эпидотовыми сланцами и наличие реликтов ойтотовых структур позволяют предполагать эффузивную природу ортоамфиболитов.

Породы пирокластической природы в разрезе чуйской свиты встречены в северо-западном крыле Чуйского антиклинария. Они полосчаты, обладают светло-, темно-серым и темно-зеленым цветом. В зависимости от состава обломочной части среди них выделяются кристаллокластические и литокристаллокластические туфы. По величине обломков туфы подразделяются на псаммитовые, алевритовые и редко гетерокластические и пелитовые. Большая часть пород разбита трещинами, выполнеными кальцитом, эпидотом и кварцем.

Кристаллокластические туфы сложены угловатыми обломками кристаллов плагиоклаза и кварца. Комбинация различных по величине обломков (от 0,02 до 0,1 мм) определяет структуру породы. Обломки плагиоклаза представлены альбитом или альбитолигоклазом. Обычно они имеют довольно свежий облик и лишь иногда серицитизированы и эпидотизированы. Цемент пород по типу базальный или выполнения пор, по составу кварц-полевошпатовый с примесью гидроокислов железа и рудного минерала, иногда серицита, хлорита и эпидота. Структура цемента грано- и лепидобластическая.

Литокристаллокластические туфы, в отличие от кристаллокластических, содержат в обломочной части, помимо плагиоклаза и кварца, до 10—15% обломков порфиритов, порфиров и фельзитов. Структура их псаммито-алевритовая; цемент по составу и структуре не отличается от цемента кристаллокластических туфов.

Туффиты и туфопесчаники макроскопически почти не отличимы от туфов. Между собой они различаются только по преобладанию кластического и пирокластического материала. Обломки кластического происхождения хорошо окатаны и отсортированы. Состоят они преимущественно из кварца и кислого плагиоклаза. По величине обломков различаются псаммитовые, псаммито-алевритовые и алевритовые структуры туффитов и туфопесчаников. Их метаморфизованные разности обладают бластопсаммитовыми, бластоалевритовыми структурами. Цементирующая масса по составу и структуре аналогична цементу туфов.

СРЕДНИЙ КОМПЛЕКС ПРОТЕРОЗОЯ

К этому комплексу относятся отложения, являющиеся стратиграфическими аналогами тепторгинской серии, выделенной С. И. Друговым в 1950 г. в Тонодском антиклинарии. * В бассейне р. Бол. Чунь они составляют чукчинскую свиту, которая со скрытым параллельным (Таевский и др., 1959), угловым и азимутальным несогласием (Головенок, 1961; Варзалов, 1962) перекрывает образования верхней подсерии муйской серии. На водоразделе рек Мал. Чунь и Калайки средний комплекс представлен образованиями тепторгинской серии нерасщепленной, залегающими на размытой поверхности неруканской свиты и гранитоида чуйско-кодарского комплекса. Верхняя возрастная граница серии в Патомском нагорье устанавливается по залеганию базальных конгломератов верхнепротерозойской патомской серии на различные горизонты тепторгинской серии (Салоп, 1962; Головенок, 1959; Таевский и др., 1959).

ТЕПТОРГИНСКАЯ СЕРИЯ

Чукчинская свита ($Pt_2 sk$) **

Впервые эта свита была изучена и выделена в качестве высокометаморфизованного стратиграфического аналога пурпурской свиты тепторгинской серии Патомского нагорья в бассейне р. Большой Чукчи В. М. Таевским и В. К. Головенком в 1959 г. В этом же году отложения свиты были установлены и отделены от отложений патомской серии на смежном восточном листе (Таевский и др., 1959).

В исследованном районе чукчинская свита распространена в виде неширокой полосы, протягивающейся по правобережью р. Бол. Чунь в северо-восточном направлении. В бассейне р. Пуркан она меняет его на субмеридиональное, а в бассейне р. Прав. Брамы — на широтное. В бассейне р. Пуркан отложения свиты с угловым и азимутальным несогласием залегают на образованиях чуйской и неруканской свит муйской серии.

Слагающие свиту образования представлены глубоко метаморфизованными (до амфиболитовой фации) породами, среди которых развиты преимущественно слюдистые кварциты и кварцо-гнейсы, ставролит-, гранат- и дистенсодержащие слюдистые сланцы. Подчиненную роль в составе свиты играют амфиболовые гнейсы и доломиты.

Полный разрез свиты наблюдается на правобережье р. Бол. Чунь в 6 км выше устья р. Нерукан, где обнажены (снизу вверх):

1. Массивные крупнозернистые слюдистые кварциты белого цвета с розоватым оттенком	10 м
2. Гранато-дистено-двуслюдяные сланцы с редкими прослоями слюдистых кварцитов мощностью до 20—30 см. В нижних частях пласти дистен имеет голубовато-зеленую окраску, в верхних — темно-серую	20 „
3. Белые слюдистые кварциты, содержащие редкие мелкие кристаллы граната	7 „
4. Мелкозернистые гранато-двуслюдяные гнейсы серого цвета	9 „
5. Амфиболовые гнейсы, содержащие мелкие зерна граната	3 „
6. Крупночешуйчатые гранато-дистено-двуслюдяные сланцы, содержащие незначительное количество ставролита	8 „
7. Розовато-белые слюдистые кварциты и кварцо-гнейсы с прослойками дистено-гранато-двуслюдяных сланцев	30 „
8. Крупночешуйчатые дистено-гранато-кварце-мусковитовые сланцы серебристо-серого цвета. Кристаллы граната достигают 5 см в поперечнике	36 „

* Указанный исследователь помещал тепторгинскую серию под отложения, которые он относил к нижнему комплексу протерозоя (Другов, 1958).

** В. Н. Шаров (1962) отложения, составляющие чукчинскую свиту, ошибочно причисляет к нижней подсерии патомской серии.

9. Кварциты и слюдистые кварциты белого и светло-серого цвета	55 м
10. Крупнозернистые ставролито-гранато-дистено-двуслюдянные сланцы	110 "
11. Крупнокристаллические массивные доломитизированные известняки кремового цвета	7 "
12. Кварциты массивные белого цвета	15 "
13. Мелкозернистые амфиболовые гнейсы темно-зеленого цвета	3 "
14. Кварцо-гнейсы светло-серого цвета, переслаивающиеся с гранато-дистено-двуслюдянными сланцами	30 "
15. Массивные мелкозернистые амфиболовые гнейсы грязно-зеленого цвета, содержащие крупные кристаллы граната	7 "
Общая мощность свиты равна 350 м.	

Приведенный разрез в целом отвечает составу пурпольской свиты, но, в отличие от нее, здесь, также как и на территории смежного с востока листа, отмечаются прослои амфиболовых гнейсов, что отличает, наряду с различной степенью метаморфизма, чукчинскую свиту от пурпольской (Таевский, 1959, 1961).

Кварциты и кварцо-гнейсы представляют крупнозернистые породы, состоящие из кварца (75—96%) и мусковита (1—5%). Изредка отмечаются биотит, плагиоклаз и гранат. Из акцессорных минералов встречаются циркон, рутил и магнетит. В разностях кварцо-гнейсов, содержащих минимальное (75%) количество кварца, присутствует решетчатый микроклин. В породах, содержащих до 95% кварца, микроклина нет. Текстура пород гнейсовидная или массивная, структура лепидогранобластовая.

Ставролито-дистено-гранато-двуслюдянные сланцы представлены крупнозернистыми породами желтовато-серого цвета. Структура их лепидонематогранобластовая с элементами порфиробластовой и пойкилитовой. Текстура гнейсовидная или сланцеватая. Сланцы состоят из идиоморфных зерен граната, преобразующегося в мусковит, ставролита и силиманита, биотита, замещающегося мусковитом с выделением магнетита; олигоклаза, кварца, турмалина, рутила и сфена.

Дистено-гранато-двуслюдянные сланцы отличаются от вышехарактеризованной разновидности пород тем, что в них отсутствуют ставролит и силиманит.

Амфиболовые гнейсы имеют гранонематобластовую структуру, гнейсовидную, иногда плойчатую текстуру. Они состоят из актинолита (50—75%), плагиоклаза (15—25%), кварца (5—10%), калиевого полевого шпата, биотита, мусковита и цинзита. В качестве акцессорных минералов присутствуют циркон, сфеен и апатит. Некоторые разности содержат до 1—5% граната.

Доломитизированные известняки обладают гранобластовой структурой и массивной текстурой. Содержание кальцита в них составляет 85%, доломита — 13%. Минеральные примеси представлены кварцем, биотитом и графитом.

Тепторгинская серия нерасчлененная ($Pt_2 tp$)

Тепторгинская серия представлена мелкогалечными конгломератами, сохранилась от размыва в виде незначительных по площади останцев, залегающих на размытой поверхности неруканской свиты и гранитондов чуйско-кодарского комплекса (водораздел рек Мал. Чунь и Калайки).

Конгломераты обычно массивные, реже рассланцованные породы зеленовато- или желтовато-серого цвета, зависящего в основном от минерального состава цемента. Хорошо сортированная галька, не превышающая 1,5—2 см в поперечнике, занимает 60—70% объема породы. Степень окатанности хорошая, форма овальная — уплощенная или сферическая. Состав гальки почти исключительно кварцевый. Весьма редко встречаются единичные галечки, сложенные микроклином и микрокварцитом. Спайка гальки с цементом крепкая. Цемент конгломератов или железисто-серицитовый с небольшой примесью хлорита, или серицито-хлоритовый с примесью кварца; тип цементации — базальный.

Мощность конгломератов в изученном районе не превышает 25 м. Принадлежность описанных конгломератов к тепторгинской серии нерасчлененной не вызывает сомнения. Аналогичные образования, залегающие в основании серии, отмечались ранее в бассейне р. Бол. Чунь (выше устья р. Медвежевки) В. К. Головенком, где они имеют определенное стратиграфическое положение (Головенок, 1959).

ВЕРХНИЙ КОМПЛЕКС ПРОТЕРОЗОЯ ПАТОМСКАЯ СЕРИЯ

Образования рассматриваемого комплекса представлены в различной степени метаморфизованными терригенно-карбонатными отложениями патомской серии, занимающими обширные пространства в южной и северо-западной частях территории. Среди патомской серии на территории листа выделяются нижняя подсерия, существенно терригенная и средняя подсерия, преимущественно карбонатная. Обе подсерии залегают между собой согласно и рассматриваются в качестве элементов единого крупного седиментационного цикла, отражающих ритмический характер осадконакопления, свойственный серии в целом (Таевский, 1959; Варзалов и др., 1962). Весь комплекс отложений нижней и средней подсерий патомской серии характеризуется единными процессами метаморфизма и складкообразования, сопровождающимися общей магматической деятельностью.

Верхнепротерозойский возраст серии определяется, во-первых, ее несогласным залеганием в Патомском нагорье через базальные конгломераты на метаморфизованных породах среднего или нижнего протерозоя (Шалек и др., 1959; Головенок, 1960; Таевский, 1959; Варзалов, 1962). Во-вторых, тем, что на окраине Патомского нагорья отложения серии перекрываются породами жербинской свиты нижнего кембрия, которая с размывом, местами через гравелиты и конгломераты, ложится на различные свиты верхнего протерозоя (Головенок, 1956; Салон, 1958; Чумаков, 1959; Переялов, 1961; Варзалов, 1962; Сульдин, 1963). Общая мощность серии на площади листа равна 9150 м.

Нижняя подсерия

Отложения подсерии прослеживаются в обоих крыльях Мамского синклиниория. Несмотря на одинаковое стратиграфическое положение в разрезе патомской серии, они имеют в каждом крыле различную степень метаморфизма. В северо-западном крыле отложения подсерии, слагающие вытянутое в северо-восточном направлении поле шириной около 25 км, характеризуются высокой степенью метаморфизма (от эпидото-амфиболитовой фации до амфиболитовой) и обильным насыщением гранитондами мамско-оронского комплекса. В юго-восточном крыле синклиниория шириной поля отложений подсерии при сохранении мощности порядка 4600 м значительно уже (до 6—7 км). Отложения отличаются более низкой степенью метаморфизма (фация зеленых сланцев) и отсутствием среди них гранитондов. При движении к северо-востоку в бассейне р. Лульмы (среднее течение р. Мамы) отмечается постепенное увеличение степени метаморфизма отложений до амфиболитовой фации (Таевский и др., 1959).

Отложению нижней подсерии местами предшествовал размыв пород среднего комплекса протерозоя. Так, в различных местах Патомского нагорья (р. Кочекта, междуречье Витима и Бол. Чунь, бассейн р. Мамы) породы нижней подсерии ложатся или на среднюю часть чукчинской свиты тепторгинской серии, или через базальные конгломераты с галькой пород тепторгинской серии — на размытую поверхность гранитондов чуйско-кодарского комплекса (Таевский, 1959; Головенок, 1960). На площади листа в бассейне р. Калайки базальные конгломераты подсерии непосредственно залегают на породах чуйской свиты и чуйско-кодарского интрузивного комплекса. Все эти факты указывают на то, что осадконакоплению в начале верхнепротерозойского времени предшествовал длительный перерыв.

В составе нижней подсерии выделяются три свиты: витимская, слюдянкинская и согдиондонская. Суммарная мощность их 4000 м.

Витимская свита (Pt₃ vt)

Отложения ее установлены в бассейне р. Бол. Чун и ее притоков. Они прослеживаются в виде полосы шириной около 5–6 км, протягивающейся в северо-восточном направлении из бассейна р. Ильгидяка в бассейн р. Согдлондон. Кроме того, конгломераты, отнесенные авторами к витимской свите, фиксируются в бассейне р. Калайки, (левый приток р. Канушки), где они залегают на отложениях нижнего протерозоя. В других местах площади листа конгломераты в основании свиты не наблюдаются, но на смежной с востока площади в бассейнах рек Лульмы, Сунурикана (среднее течение р. Мамы) устанавливается, что в основании витимской свиты имеется базальный горизонт конгломератов, залегающий на образованиях тектогенесской серии среднего протерозоя (Таевский, 1959; 1960; 1961).

На правобережье р. Бол. Чун изучен следующий полный разрез отложений витимской свиты (снизу вверх):

1. Переслаивание пятнистых биотитовых гнейсов со светло-серыми кварцитами. Тонкие прослои гранато-двуслюдянных и гранато-биотитовых гнейсов. В средней части маломощный (5–10 м) прослой гранато-дистено-двуслюдянных гнейсов и сланцев	100 м
2. Переслаивание светло-серых кварцитов с маломощными прослойками гранато-биотитовых и биотитовых гнейсов	70 ..
3. Пятнистые биотитовые и гранато-биотитовые гнейсы и кварциты, маломощные прослои гранато-пироксено-биотитовых, гранато-силлиманито-биотитовых и амфиболо-биотитовых мелкозернистых гнейсов. В средней части прослой гранатово-дистено-двуслюдянных гнейсов	300 ..
4. Переслаивание биотитовых, гранато-биотитовых, гранато-двуслюдянных гнейсов и сланцев со слюдистыми кварцитами. Прослой известково-силикатных пород	160 ..
5. Среднезернистые светло-серые известняки	30 ..
6. Переслаивание кварцитов и биотитовых гнейсов	100 ..
7. Двуслюдянные крупнозернистые сланцы	50 ..
8. Переслаивание кварцитов с мелкозернистыми биотитовыми и пятнистыми гранато-биотитовыми гнейсами. Прослой известково-силикатных пород и амфиболо-биотитовых гнейсов	400 ..
9. Пятнистые биотитовые гнейсы, в верхней части пачки иногда с гранатом	90 ..
Общая мощность свиты	1300 м.

Из вышеприведенного разреза видно, что наиболее обширной группой пород являются биотитовые, пятнистые биотитовые и гранато-биотитовые гнейсы и сланцы. По внешнему облику это сланцеватые, мелко- и среднезернистые породы серого и темно-серого цвета. В пятнистых биотитовых гнейсах таблички и чешуйки биотита часто располагаются под некоторым углом или поперек сланцеватости, что придает гнейсам своеобразный пятнистый облик.

Другой значительной группой пород являются слюдистые кварциты и кварциты серого и темно-серого цвета, плотные, массивные мелкозернистого сложения.

Все остальные породы, перечисленные в разрезе свиты, имеют подчиненное значение и встречаются в виде незначительных пачек (мощностью от 1 до 30 м).

Два горизонта гранато-дистено-двуслюдянных гнейсов являются маркирующими для разреза свиты.

Конгломераты встречаются в бассейне р. Калайки. По внешнему виду они представляют собой массивные породы бурого-серого, серого или бурого цвета. Обломочная часть плохо отсортирована и составляет около 85% общей массы породы. Наряду с галькой, размер которой колеблется в пределах от 7 до 15 см, часто встречаются и валуны размером до 1 м. Среди псефитовой части обнаружены гранитоиды чуйско-кодарского и ирельского комплексов,

кварцевые порфирь и фельзит-порфирь хибилинской свиты Северного Прибайкалья и разнообразные породы из муйской серии. Цемент конгломератов по типу заполнения пор, участками базальный. Представлен он полимиктовыми гравелистыми песчаниками бластопсамитовой структуры, состоящими из кварца, плагиоклаза и обломков различных пород. По цементу часто развиваются гидроокислы железа.

Слюдянкинская свита (Pt₃ sl)

Образования свиты согласно залегают на отложениях витимской свиты. Они наблюдаются в бассейне р. Бол. Чун, где прослеживаются в виде полосы (шириной около 8–9 км) северо-восточного направления через низовья рек Ильгидяка, Мочикита, Чуйского Давчакита и Чуйского Олонгро. Незначительное распространение (около 1,5 км²) породы свиты получили в юго-восточном углу площади листа в бассейне р. Куняево, где они участвуют в строении юго-восточного крыла синклиниория. Здесь выходят, очевидно, верхние пачки разреза свиты, основная часть которой фиксируется на площади смежных листов.

Среди метаморфизованных отложений свиты значительное развитие получили гранато-двуслюдянные, дистено-гранато-двуслюдянные, дистено-гранато-биотитовые, гранато-биотитовые и биотитовые гнейсы и сланцы. Подчиненное значение имеют кварциты, слюдистые кварциты, кварцо-гнейсы, амфиболо-сланцы, кристаллические известняки и известково-силикатные породы. Существенным отличием слюдянкинской свиты от витимской является иное количественное соотношение отдельных разновидностей пород, более тонкое переслаивание различных пород и увеличение в ее составе прослоев, богатых глиноземом. Последние представлены дистено-гранато-биотитовыми, дистено-гранато-двуслюдянными гнейсами и сланцами, слагающими пять маркирующих горизонтов суммарной мощностью около 350 м. Между ними расположены другие разновидности пород, которые чередуются в различной последовательности и составляют в разрезе свиты литологически отличные друг от друга многослойные пачки пород.

Полный разрез свиты, наблюдаемый в бассейне р. Чуйский Давчакит, выглядит следующим образом (снизу вверх):

1. Мелкозернистые массивные, иногда толстоплитчатые светло-серые слюдистые кварциты и кварцо-гнейсы, переслаивающиеся с серыми биотитовыми гнейсами и сланцами. Прослой гранатово-биотитовых сланцев	300 м
2. Дистено-гранато-двуслюдянные, гранато-двуслюдянные и гранато-биотитовые гнейсы и сланцы. Тонкие редкие прослои кварцитов	50 ..
3. Гранато-биотитовые, гранато-силлиманито-биотитовые, гранато-двуслюдянные и биотитовые гнейсы и сланцы в переслаивании со слюдистыми кварцитами. Единичные прослои серых среднезернистых известняков и серых мелкозернистых известково-силикатных пород	250 ..
4. Дистено-гранато-двуслюдянные и гранато-биотитовые гнейсы и сланцы. Тонкие прослои кварцитов	70 ..
5. Тонкое переслаивание двуслюдянных, гранато-двуслюдянных, гранато-биотитовых, амфиболо-биотитовых и биотитовых сланцев и гнейсов	180 ..
6. Дистено-гранато-двуслюдянные, дистено-гранато-биотитовые, гранато-двуслюдянные и двуслюдянные сланцы и гнейсы	70 ..
7. Гранато-двуслюдянные, гранато-биотитовые и двуслюдянные гнейсы и сланцы в переслаивании с амфиболо-биотитовыми гнейсами и мелкозернистыми кварцитами. Редкие прослои голубовато-серых известняков и мелкозернистых серых известково-силикатных пород	160 ..
8. Дистено-гранато-двуслюдянные, дистено-гранато-биотитовые и гранато-двуслюдянные сланцы и гнейсы. Тонкие (до 1 м) прослои кварцитов	50 ..

9. Гранато-двуслюдянные и гранато-биотитовые гнейсы в переслан-	
вании с биотитовыми, амфиболово-биотитовыми гнейсами и сланцами.	
Прослои кварцитов и слюдистых кварцитов	170 м
10. Дистено-гранато-двуслюдянные, дистено-гранато-биотитовые и	
двуслюдянные гнейсы и сланцы в тонком переслаивании с кварцитами.	
Редкие прослои амфиболово-биотитовых гнейсов	100 "
Общая мощность свиты 1400 м.	

Стратиграфическими и литологическими аналогами верхних частей разреза слюдянкинской свиты в юго-восточном крыле синклинория являются слабометаморфизованные разновидности пород. К ним относятся черные и темно-серые тонкосланцеватые филлиты и филлитовидные сланцы кварц-мусковитового состава. Однако на северо-восточном продолжении слюдянкинской свиты в бассейне р. Мамы степень метаморфизма отложений возрастает и фации в обоих крыльях синклинория становятся одинаковыми (Таевский, 1959; 1960).

Согдиондонская свита

Отложения свиты согласно залегают на слюдянкинской и перекрываются конкудерской свитой. Метаморфические образования описываемой свиты закартированы на юго-востоке площади в бассейне р. Бол. Чунь, на отрезке ее меридионального течения, а также в верховьях рек Чуйского Давчакита и Мочикита. Данная свита, участвуя в строении северо-западного крыла Мамского синклинория, венчает разрез нижней подсерии патомской серии. Отличаясь от витимской и слюдянкинской свит повышенной карбонатностью при сохранившемся преобладании в ее составе терригенного материала, она служит переходным звеном от существенно терригенной нижней подсерии к согласно с ней залегающей существенно карбонатной средней подсерии, подчеркивая тесную генетическую связь и постепенность перехода между обеими подсериями. Мощность свиты определяется в 1300 м.

По литологическим особенностям согдиондонская свита подразделяется на две подсвиты: нижнюю и верхнюю.

Нижняя подсвита ($Pt_3 sg_1$) резко выделяется в разрезе нижней подсерии по повышенному содержанию карбонатных отложений. В основании подсвиты (бассейны рек Чуйского Давчакита и Мочикита) залегает пачка пород, представляющая собой переслаивание среднезернистых, реже мелкозернистых серых, голубовато-серых с чешуйками слюд и графита кристаллических известняков и известково-силикатных пород с биотитовыми, двуслюдянными, гранато-двуслюдянными, амфиболово-биотитовыми гнейсами и сланцами, и двуслюдянными кварцово-гнейсами.

Число прослоев известняков и известково-силикатных пород увеличивается к верхам разреза пачки. Их мощность также увеличивается от десятков сантиметров до 40–50 м. Среди известково-силикатных пород различаются известково-амфиболовые, известково-амфиболово-цианситовые, известково-амфиболово-скаполито-биотитовые и известково-скаполитовые сланцы. Мощность пачки 350 м. Выше по разрезу залегает маломощная (50 м) пачка терригенных пород, представленная переслаиванием гранато-биотитовых и гранато-двуслюдянных гнейсов и сланцев с дистено-гранато-двуслюдянными и гранато-амфиболово-биотитовыми сланцами. Эти две пачки перекрываются отложениями, несколько сходными с отложениями нижней пачки. Здесь отмечается частое переслаивание биотитовых, гранато-биотитовых гнейсов и сланцев с известково-силикатными породами, биотито-амфиболовыми сланцами, двуслюдянными гнейсо-кварцитами и кварцитами. В средней части пачки встречаются маломощные (5–10 м) прослои голубовато-серых среднезернистых графитизированных кристаллических известняков. Общая мощность подсвиты 700 м.

Верхняя подсвита ($Pt_3 sg_2$) отличается от нижней существенно терригенным составом и представлена биотитовыми, биотито-амфиболовыми, гранато-биотитовыми, двуслюдянными и гранато-двуслюдянными гнейсами, среди которых отмечаются редкие маломощные (5–10 м) прослои слюдистых

кварцитов и известково-силикатных пород. В нижней и верхней частях подсвиты прослеживаются два маркирующих горизонта, представленных дистено-гранато-двуслюдянными, гранато-двуслюдянными и двуслюдянными сланцами и гнейсами. Горизонты довольно выдержаны по простиранию и имеют одинаковую мощность, колеблющуюся в пределах 50–60 м. Общая мощность подсвиты 600 м.

Согдиондонская свита нерасчлененная ($Pt_3 sg$) распространена в бассейнах рек Куяево и Сунуриканы, где она принимает участие в строении юго-восточного крыла Мамского синклинория. Карбонатно-терригенные отложения свиты согласно залегают на породах подстилающей слюдянкинской свиты, согласно перекрываются вышеупомянутыми отложениями конкудерской свиты и вместе с ними смыты в узкие килевидные линейные складки. Протирание спород свиты северо-восточное 45–50°, падение их крутое на северо-запад под углами 60–80°.

Отложения свиты представлены слабометаморфизованными породами, отличающимися фации зеленых сланцев (светло-серыми с серебристым оттенком на плоскостях отдельности кварц-серпентитовыми и биотито-кварц-серпентитовыми сланцами, черными известняками и карбонатным сланцами). В качестве прослоев присутствуют мелкозернистые буровато-серые и серые углисто-кварцевые песчаники *. Общая мощность свиты 1300 м.

Средняя подсерия

На территории листа отложения подсерии распространены широко. Они развиты в юго-восточной и северо-западной части. В первом случае (бассейн рек Куяево и Именды) они сложены конкудерская, марининская и джемкуканская свиты, участвующие в строении Мамского синклинория; во втором (бассейн рек Калайки и Капушки) — джемкуканские, затем баракунская и вальюхтинская объединенные, жукинская и ченчинская свиты. Образования подсерии согласно залегают на карбонатно-терригенных отложениях нижней подсерии и отличаются от нее своим существенно карбонатным составом.

Конкудерская свита ($Pt_3 kn$)

Свита является нижним членом разреза средней подсерии патомской серии. Отложения свиты довольно широко распространены в бассейнах рек Куяево, Именды, Чуйского Давчакита и Аломчака, где они, согласно залегая на породах согдиондонской свиты, участвуют в строении крыльев Мамского синклинория. Выходы пород конкудерской свиты, участвующих в строении северо-западного крыла (бассейны рек Чуйского Давчакита и Аломчака), прослеживаются полосой северо-восточного простирания, ширина которой достигает 5 км. Породы свиты здесь смыты в крутые складки, в ядрах которых обнажаются отложения вышеупомянутой марининской свиты. В юго-восточном крыле синклинория (бассейны рек Куяево и Именды) отложения конкудерской свиты образуют узкую полосу шириной 1,5 км. Они залегают под крутыми углами падения порядка 80–85°.

Разрез свиты характеризуется частым переслаиванием карбонатных терригенных отложений. Первые преобладают в нижней части свиты, вторые — в верхней. Разрез венчается горизонтом светло-серых слюдистых кварцитов, имеющих характерныйшелковистый блеск. Горизонт является маркирующим и мощность его 60 м. Общая мощность отложений свиты 1200 м.

Слабометаморфизованные отложения представлены темно-серыми и серыми известняками и пятнистыми серпентито-кварцевыми филлитовидными сланцами, содержащими примесь углистого и карбонатного материала. Подчиненное распространение имеют кварцевые песчаники. В зоне повышенного метаморфизма породы свиты превращены в кристаллические сланцы, мраморы и

* Здесь и далее в тексте за «углистое» принято считать черное непрозрачное вещество.

кварциты. Нередко карбонатные отложения, обогащенные скаполитом, роговой обманкой, графитом, tremolитом, образуют различные известково-силикатные породы.

Маринская свита (Pt₃ mr)

Отложения свиты установлены в юго-восточном углу территории листа, в бассейнах рек Куняево, Именды и Чуйского Давчакита. Согласно залегая на образованиях конкудерской свиты, они совместно с ними участвуют в сложении крыльев Мамского синклиниория.

Отложения свиты отличаются своим существенно карбонатным составом. В основании (бассейн р. Куняево) залегает пачка мелкозернистых темно-серых и черных известняков с редкими маломощными прослоями карбонатных и филлитовидных сланцев. Ее мощность равна 200 м. Выше расположена также пачка известняков, но в ней заметно увеличивается количество карбонатных и филлитовидных сланцев и появляются редкие прослон известковистых песчаников. Мощность этой части разреза около 300 м.

Верхняя часть разреза представлена частым пересланыванием известняков, различных по составу песчаников и филлитовидных сланцев. Соотношение терригенных и карбонатных пород в этой части разреза примерно одинаковое. Общая мощность свиты составляет 700 м.

Известняки в составе свиты преобладают и представляют собой массивные плитчатые или рассланцованные породы темно-серого, серого, редко черного цвета.

Сланцы составляют довольно обширную группу пород филлитовидного облика. Среди них выделяются кварц-сернистые, кварц-углисто-сернистые, углисто-биотито-кварц-карбонатные и сернисто-кварц-карбонатные разновидности. Структура их бластопелитовая или бластоалевропелитовая, текстура сланцеватая.

Песчаники представляют мелко-, реже среднезернистые породы серого цвета с различными оттенками. По составу они подразделяются на кварцевые, кварц-карбонатные, карбонатно-кварцевые, карбонатно-пластиоклазо-кварцевые и пластиоклазо-кварцевые разновидности. Структура их бластопсаммитовая. Текстура массивная, сланцеватая или неотчетливо сланцеватая.

Породы свиты, попавшие в зону повышенного метаморфизма, претерпели значительные изменения. Известняки приобрели светло-серую окраску и кристалличность; в них появились скаполит, слюды и амфибол. Филлитовидные сланцы обогатились гранатом, графитом, биотитом и образовали биотитовые, гранато-биотитовые, гранато-двуслюдянные, биотито-амфиболовые и другие гнейсо-сланцы и сланцы.

Джемкуканская свита (Pt₃ dg)

Свита развита на юго-востоке и северо-западе площади листа. На юго-востоке (водораздел рек Именды и Куняево) терригенные отложения ее, согласно залегая на карбонатных породах маринской свиты, слагают ядро Мамского синклиниория, а на северо-западе (бассейн р. Канушки) — ядро антиклиналии, получившей наименование Бурковской. В северо-западной части листа в зависимости от роли грубообломочных фаций свита делится на три примерно равные части: нижнюю — конгломератовую, среднюю — сланцево-гравелитовую и верхнюю — алевролито-песчаниковую.

Наиболее полный разрез джемкуканской свиты можно наблюдать на водоразделе рек Мал. Чуи и Канушки, где обнажены (снизу вверх):

- | | |
|------------------------------------------------------------------------------------------|-------|
| 1. Конгломераты с редкими прослоями гравелитов | 450 м |
| 2. Серые толстоплитчатые доломиты | 25 " |
| 3. Темно-серые алевролиты | 25 " |
| 4. Полевошпато-кварцевые гравелиты | 50 " |
| 5. Пересланывание кварцитовидных песчаников и полевошпато-кварцевых гравелитов | 75 " |

6. Серые тонкополосчатые сланцы	50 м
7. Светло-серые полевошпато-кварцевые гравелиты	50 "
8. Буровато-серые слоистые сланцы	110 "
9. Слоистые алевролиты серого цвета с зеленоватым оттенком	40 "
10. Полевошпато-кварцевые песчаники	150 "
11. Массивные серые алевролиты	75 "
12. Полевошпато-кварцевые песчаники, переслаивающиеся с кварцевыми песчаниками	200 "

Мощность джемкуканской свиты равна 1300 м.

Конгломераты обладают темно-серым, серым или зеленовато-серым цветом, зависящим от состава цемента; текстура их массивная, изредка слоистая. Галька овальная, чаще линзовидная. Средний ее размер 2—3 см, значительно реже встречаются крупные валуны. Среди гальки обнаружены гранитоиды угольканского, чуйско-кодарского и ирельского комплексов, кварц и различные по вещественному составу песчаники, алевролиты и сланцы. Сравнительно редко в гальке встречаются темно-серые доломиты, криптокристаллические известняки, слюдистые кварциты, кварцевые порфиры, туфы и туф-фиты. Цемент конгломератов представлен гравелитами и разнозернистыми полимиктовыми песчаниками с бластопсаммитовой структурой, состоящими из кварца, плагиоклаза и обломков пород. По своему строению конгломераты напоминают пудинг.

Гравелиты представлены темно-серыми с буроватым или зеленоватым оттенком породами, обладающими псевдо-псаммитовой структурой и массивной или неотчетливо сланцеватой текстурой. Гравелистая часть занимает 60—75% объема породы. В полимиктовых разностях она состоит из кварца, полевых шпатов, обломков различных пород и слюд.

Полевошпато-кварцевые гравелиты сложены в основном из полевых шпатов и кварца. Цемент по типу базальтий, по составу сернисто-хлоритовый с незначительной примесью кварца, полевых шпатов и гидроокислов железа.

Песчаники по составу полевошпато-кварцевые, с незначительной примесью обломков карбоната, и кварцевые. Структура их псаммитовая, иногда зубчатая. Текстура массивная. Цемент сернисто-хлоритовый или железисто-сернисто-хлоритовый, по типу выполнения пор, участками контактовый, реже регенерационный кварцевый.

Алевролиты имеют алевритовую или алевропелитовую структуру, слоистую или массивную текстуру. Обломочная часть составляет 60—80% общего объема породы и представлена кварцем, полевыми шпатами и мусковитом. Пелитовые образования занимают 15% общего объема породы. Цемент хлорито-сернистый, по типу — выполнения пор, участками контактовый.

Сланцы по составу делятся на железисто-сернисто-хлоритовые, глинисто-сернисто-хлоритовые, сернисто-хлоритовые, сернисто-кварцевые и кварц-сернисто-хлоритовые. Они обычно находятся в тонком переслаивании друг с другом. Структура их пелитовая, текстура слоистая и сланцеватая.

Доломиты представлены массивными толстоплитчатыми породами, состоящими из доломита (95%) и кварца (3—5%).

На водоразделе рек Куняево и Именды в нижних частях джемкуканской свиты, наряду с известковистыми песчаниками и различными филлитовидными сланцами, отмечаются прослои и линзы темно-серых известняков. Выше по разрезу карбонатность отложений свиты резко уменьшается и они характеризуются тонким пересланыванием кварцевых песчаников и филлитовидных сланцев. Среди последних выделяются кварц-сернисто-углистые, кварц-углисто-сернистые, хлорито-углисто-кварцевые и другие сланцы.

Баракунская свита (Pt₃ brk)

Отложения свиты незначительно распространены в северо-западной части площади листа (левобережье р. Канушки) и слагают два смежных выхода, заключенных в тектонических блоках общей площадью 8 км².

Залегание отложений баракунской свиты на песчаниках джемкуканской согласное. За пределами территории (лист О-49-XVI), в бассейне р. Бол. Калайки, они согласно перекрываются терригеническими образованиями валюхтинской свиты.

Разрез свиты следующий (снизу вверх):

1. На полевошпато-кварцевых и кварцевых песчаниках джемкуканской свиты, согласно залегают светло-серые мелкозернистые песчанистые известняки	100 м
2. Пересланвие аркозовых и кварцевых песчаников с зеленовато-серыми и зеленовато-бурыми сланцами	100 "
3. Серые доломиты с прослойками зеленовато-серых сланцев	40 "
4. Аркозовые и кварцевые песчаники	30 "
5. Массивные доломиты светло- и желтовато-серого цвета с онколитами и строматолитами. Прослои оолитовых доломитов	200 "

Мощность свиты в пределах площади листа составляет 470 м.

Песчанистые известняки — мелкозернистые породы серого и светло-серого цвета, массивной и массивно-слоистой текстуры, гранобластовой, реже пойкилобластовой структуры. Основная масса их сложена кальцитом (60—65%) и зернами кварца (15—20%). Пелитоморфная часть не превышает 20% объема породы. Изредка отмечаются зерна доломита, графита и магнетита.

Доломиты имеют плитчатую отдельность, светло-серый и серый цвет и поликристаллическое сложение. Верхняя пачка доломитов характеризуется присутствием онколов и строматолитов, которые, по определению Э. Н. Григорова, представлены формами *Osagia tenuilamellata* Reitl. (коллекция Ю. К. Варзала, ИГУ), характерными для марининской, баракунской и валюхтинской свит патомской складчатой зоны (второй комплекс по З. А. Журавлевой).

Содержание доломита в породах достигает 95%, в виде примеси отмечаются кварц, кальцит и пирит. По данным химических анализов, содержание MgO в глинистых доломитах составляет 19—21%, CaO 27—31%, нерастворимый остаток 7—11%. (Химическая лаборатория ИГУ, аналитик Т. В. Долгова).

Песчаники имеют среднезернистое сложение, темно-, зеленовато-, светло- и пепельно-серый цвет, массивную текстуру, псаммитовую и алевро-псаммитовую структуру. По составу выделяются кварцевые (кварц 75—90% и полевой шпат до 15%) и аркозовые (кварц 45—60% и полевой шпат 35—50%) разности песчаников. Цемент их поровый, контактный или пленочный; по составу железистый и кварц-полевошпатовый с примесью кальцита, серицита и углистого вещества.

Сланцы темно-серого, буровато-зеленого, зеленовато-серого цвета сланцеватой и тонкослоистой текстуры, пелитовой или алевропелитовой структуры. По составу выделяются углисто-серицито-хлоритовые, кварц-серицито-хлоритовые сланцы.

Баракунская и валюхтинская свиты объединенные ($Pt_3 brk + vl$)

Отложения этих свит установлены в бассейнах рек Мал. Чуй, Калайки и Канушки. Согласно залегая на отложениях джемкуканской свиты, они слагают крылья Калайской синклинали и представлены существенно карбонатными породами с прослойями терригенных.

Баракунская и валюхтинская свиты объединенные выделены на основании положения их в разрезе и литологического сходства с аналогичными отложениями, выделенными в смежных с северо-востока районах. Большая часть разреза, сложенная карбонатными породами, отчетливо коррелируется с разрезом баракунской свиты, выделенной на рек. Мал. Чую и Калайке В. К. Головенком в 1957 г. Переслаивающиеся в верхах разреза алевролиты, сланцы и песчаники, соответствуют, по-видимому, разрезу валюхтинской свиты, фациально изменяющейся по простирации и значительно редуцированной в бассейнах рр. Мал. Чуй и Канушки. Эти отложения имеют незначительную

мощность, не могут быть выделены в самостоятельную свиту и отображены на карте.

Полный разрез баракунской и валюхтинской свит объединенных на междуречье Мал. Чуй и Канушки имеет следующий вид (снизу вверх):

1. Кварцевые гравелиты с тонкими прослойками кварцевых песчаников	10 м
2. Светло-серые мелкозернистые пятнистые известняки	90 "
3. Аркозовые и кварцевые песчаники с прослойками алевролитов и сланцев	75 "
4. Серые доломиты с прослойками сланцев	30 "
5. Аркозовые и кварцевые песчаники	45 "
6. Доломиты с оолитами, онколитами и строматолитами	150 "
7. Пересланвие алевролитов, песчаников и сланцев	50 "
8. Серые и темно-серые массивные доломиты	80 "
9. Пересланвие аркозовых и кварцевых песчаников, алевролитов, сланцев	180 "
10. Пересланвие алевролитов и сланцев с аркозовыми и кварцевыми песчаниками и темно-серыми доломитами	490 "

Общая мощность отложений равна 1200 м.

Подавляющее большинство пород описано при изложении материала по баракунской свите и поэтому здесь приводится характеристика лишь для алевролитов и гравелитов.

Алевролиты имеют серый цвет, массивную, полосчатую и слоистую текстуру. Структура алевритовая, реже алевро-псаммитовая; цемент кварц-мусковит-железистый, по типу kontaktовый и поровый. По составу слагающих минералов алевролиты олигомиктовые: олигоклаз (30—35%), кварц (25—50%) и микроклин (5—10%). В качестве аксессорных минералов выступают магнетит, турмалин и апатит.

Гравелиты на 70—75% состоят из угловатых полуокатанных, реже окатанных обломков кварца (45—50%), плагиоклаза (15—20%) и микроклина (10—20%). В виде незначительной примеси присутствуют обломки минералов и пород (микрокварцитов и серицито-хлоритовых сланцев). Размер обломков до 0,7×1,5 см. Цемент гравелитов серицито-хлоритовый, по типу — базальный. Почти всегда в цементе присутствует незначительное количество примесей — гидроокислов железа, рудного минерала, слюда и карбоната. Структура псевдо-псаммитовая, текстура массивная.

Жуинская свита ($Pt_3 gn$)

Отложения свиты распространены в бассейнах рек Мал. Чуй и Калайки, где они слагают крылья Калайской синклинали. Разрез ее начинается мало-мощной (50 м) пачкой светло-серых мелкозернистых известняков с тонкими прослойками мергелей, согласно залегающей на алевролитах баракунской и валюхтинской объединенных свит. Выше по разрезу наблюдается 250—300 м пачка темно- и зеленовато-серых алевролитов, переслаивающихся с тонкими прослойками серых, зеленых и лиловых мергелей и светло-серых мелкозернистых известняков. Мощность отдельных прослоев известняков и мергелей не превышает 1—3 м. Общая мощность отложений жуинской свиты составляет 300—350 м.

Алевролиты имеют темно-, зеленовато-серый цвет, слоистую текстуру, алевролитовую, алевритовую и псаммито-алевритовую структуры. Цемент их базального типа, по составу карбонатный, кварц-глинисто-карбонатный, кварц-карбонатный и глинисто-кварцевый. Обломочная часть представлена кварцем (до 60%), биотитом (5—15%) и полевыми шпатами (10—15%).

Известняки светло-серого цвета, слоистые и массивные, с плитчатой отдельностью. Они характеризуются зернисто-оолитовыми структурами. Оолиты сферической формы с радиально-лучистым или концентрическим строением. Нередко оолиты деформируются и перекристаллизовываются. Зерна кальцита имеют неправильную форму и иногда ориентированы по сланцеватости

породы. В незначительных количествах (до 3—5%) присутствуют зерна кварца, плагиоклаза и микроклина.

Мергели обычно тонколитчатые и тонкозернистые, цвет их серый различных оттенков. Содержание карбоната достигает 15—40%. Суммарное содержание хлорита, серицита и глинистого вещества 50—70%. Аксессорные минералы представлены мелкими зернами турмалина и единичными чешуйками глауконита.

Ченчинская свита (Pt_3 , sn)

К данной свите отнесены существенно карбонатные отложения между речью Мал. Чуй и Канушки, где они, залегая согласно на отложениях жуинской свиты, слагают крылья синклинали, названной Калайской.

Нижняя часть свиты представлена пачкой светлых мелкозернистых песчанистых известняков с прослоями алевролитов 125—150 м. Верхняя часть слагается афанитовыми известняками.

Мощность свиты 350—400 м.

Афанитовые известняки обычно кремового или серого цвета, грубоплитчатые с массивной и густковой текстурой. Структура их инкрустационная или тонкокристаллическая. Характерно наличие пересекающихся стилолитовых швов игольчатого типа и микрослонистость. Реже отмечаются оолиты и онколиты концентрически-скорлуповатого строения. Местами породы милонитизированы и в них появляются участки перетертого пелитоморфного кальцита и прожилки кварца. Известняки сложены зернами кальцита (90—95%); иногда они имеют примесь доломита (до 50%) и тогда переходят в доломитизированный известняк. В виде незначительной примеси отмечаются кварц, плагиоклаз и микроклин. По данным химического анализа, содержание CaO в доломитисто-глинистых известняках составляет 47,85%, MgO 1,6%, Al_2O_3 0,32%, нерастворимый остаток 8—14%.

Алевролиты чаще приурочены к низам разреза свиты. Цвет их серый, текстура слоистая, структура алевропелитовая, алевритовая и микролепидобластовая. Цемент серицito-хлоритовый, слюдисто-глинистый, слюдисто-глинисто-карбонатный, слюдисто-карбонатный и железистый. Количество обломков меняется от 15 до 70%. Большая часть их представлена кварцем, кислым плагиоклазом и чешуйками биотита. В небольших количествах присутствуют углистое вещество, турмалин и циркон.

КЕМБРИЙСКАЯ СИСТЕМА

НИЖНИЙ ОТДЕЛ

Алданский ярус

Жербинская свита (Cm_1 , gr)

Впервые Жербинская свита установлена на междуречье Мал. Чуй и Канушки В. К. Головенком в 1957 г. Отложения свиты залегают на размытой поверхности известняков ченчинской свиты, слагая ядро Калайской синклинали. Они представлены желтовато-белыми, серыми и темно-серыми кварцитовидными песчаниками, цвет которых постепенно изменяется. В основании свиты наблюдаются маломощные пласты гравелитов, аркозовых песчаников и известковистых алевролитов. Абсолютный возраст отложений жербинской свиты, определенный по глаукониту (р. Витим), составляет 507—550 млн. лет. Мощность свиты равна 500 м.

Кварцитовидные песчаники имеют массивную текстуру и псаммитовую, реже гранобластовую структуру. Минеральный состав характеризуется наличием слабоокатанных обломков кварца (65—90%), полевых шпатов (5—30%), турмалина, циркона и рудного минерала. Песчаники, окрашенные в темно-серый цвет, содержат в цементе до 5% гидроокислов железа. Изредка встречается глауконит. Цемент песчаников по типу поровый, менее распространены базальный, цемент соприкоснения и пятнистый.

20

Аркозовые песчаники встречаются чаще в низах свиты в виде маломощных пропластков (3—5 м) среди кварцитовидных песчаников. Цвет песчаников серый, зеленовато-, темно-серый; структура обычно бластопсаммитовая. От кварцитовидных песчаников аркозовые отличаются повышенным содержанием плагиоклаза (до 35%) и меньшим содержанием кварца (50—55%). В качестве примеси отмечаются: мусковит, сфеен, турмалин, рудный минерал, циркон, биотит, рутил. Цемент песчаников по типу базальный, поровый, соприкоснения или коррозионный. По составу он кварцевый, кварц-серпентитовый, кварц-железистый, реже кварц-карбонатный. Карбонат иногда встречается в виде обломков.

Алевролиты представляют тонколитчатые слоистые породы темно-серого и серого цвета, алевритовой и алевро-пелитовой структуры, слоисто-ланцеватой текстуры. Они состоят из обломков кварца и полевого шпата, сцепленных известковисто-глинистым материалом. Аксессорные минералы представлены турмалином, цирконом и сфееном. Широко развиты процессы серпентизации и хлоритизации. Цемент базального типа, реже поровый.

Гравелиты имеют серый цвет, массивную текстуру и псевфитопсаммитовую структуру. Обломочная часть составляет 30—40% объема породы и представлена хорошо окатанными зернами кварца, микрокаракитов и песчаников. Цементом пород являются аркозовые песчаники, аналогичные охарактеризованным выше. В них изредка встречаются мелкие чешуйки серицита, хлорита и глауконита.

ЧЕТВЕРТИЧНАЯ СИСТЕМА

ВЕРХНЕЧЕТВЕРТИЧНЫЕ ОТЛОЖЕНИЯ (Q_{III})

На исследованной площади Верхнечетвертичные отложения имеют незначительное распространение. Отдельные их пятна отмечены по рекам Канушке, Мал. Чуе, Тукулаху, Большой Чуе, Брамье и на междуречье Мал. Чуй и Калайки. Представлены они глинисто-валунным и песчано-галечниковым материалом, обязанным своим происхождением ледниковой и водно-ледниковой деятельности, и озерно-болотными илисто-глинистыми и торфяными отложениями. Мощность этих отложений не превышает 50 м.

ВЕРХНЕЧЕТВЕРТИЧНЫЕ И СОВРЕМЕННЫЕ ОТЛОЖЕНИЯ ОБЪЕДИНЕННЫЕ (Q_{III-IV})

К ним относятся делювиальные и солифлюкционные илисто-валунные отложения, водно-ледниковые супеси, суглинки и глины, озерные, торфяно-болотные отложения и аллювиальные галечники террас и пойм. Наибольшее развитие получили делювиальные и солифлюкционные отложения. Ими покрыты склоны водоразделов и отдельных вершин. Это, как правило, несортированный крупнообломочный материал, смешанный с супесями, суглинками и илами. Мощность их достигает 8 м.

Озерные и торфяно-болотные отложения отмечены в вершинах рек Правой и Левой Брамьи, Канушки и Большой Чуй. Сехты и в долине р. Мал. Чуй. Представлены они торфяниками, часто переслаивающимися с глинами и илами. Иногда к ним примешиваются флювиогляциальные супеси и суглинки, которые из комплекса озерных и торфяно-болотных отложений выделить невозможно. Мощность этих отложений не превышает 10 м.

Аллювиальные и водно-ледниковые отложения очень широко распространены в долинах рек Большой и Малой Чуй, Канушки, Большой Сехты, Брамьи и др. К ним относится аллювиальный пойм I, II, III, надпойменных террас и флювиогляциальные отложения оледенений, которые из комплекса аллювиальных отложений не выделяются. В целом отложения представлены хорошо окатанным гравийно-галечниковово-валунным материалом, смешанным с песчано-глинистым. Мощность отложений достигает 50 м.

21

СОВРЕМЕННЫЕ ОТЛОЖЕНИЯ (QIV)

К этим отложениям относятся русловые и пойменные аллювиальные галечники, валунники, пески и илы. Окатаанность и сортированность материала зависят от размера долины, в которой располагаются эти отложения.

В составе крупнообломочной фракции отложений присутствуют все разновидности дочетвертичных геологических образований, однако количественно преобладают породы, устойчивые к длительной транспортировке. Мощность аллювия не превышает 5 м.

ИНТРУЗИВНЫЕ ОБРАЗОВАНИЯ

На основании геологических наблюдений, абсолютного возраста, геохимических и петрохимических особенностей в рассматриваемом районе выделено шесть разновозрастных магматических комплексов. Кроме того, они отличаются друг от друга генезисом, формой тел, текстурными и структурными особенностями и влиянием на вмещающие породы.

РАННЕПРОТЕРОЗОЙСКИЕ ИНТРУЗИИ

КАЛАРСКИЙ ПЛУТОНИЧЕСКИЙ КОМПЛЕКС ($\nu Pt_i, kI$)

Комплекс представлен породами основного состава типа габбро и габбродиабазов. Они слагают штокобразные тела изометричной формы, не превышающие в плане 1—2 км² (бассейны левых притоков р. Бол. Чуи).

Внешние габброниды каларского комплекса — это зеленовато-черные средне- и мелкозернистые с массивной структурой породы. Структура их габбро-официтовая. В минеральном составе активную роль играет актинолитовая роговая обманка (45—70%). Развиваясь по пироксену, она наблюдается в виде мелкозернистых гломеропирровых скоплений и редко сохраняется в виде правильные таблитчатые формы. Плагиоклаз (№ 55—60), количество которого колеблется от 30 до 50%, наблюдается в виде длиннопризматических лист. Вторичные изменения его выражены в эпидотизации и соссюритизации. Аксессорные минералы представлены апатитом и магнетитом.

Нижний возрастной предел габбронидов определяется наличием оторочек диабазов (краевые фации) и зон закалки в эндоконтактах массивов, расположенных в поле нижнепротерозойских отложений (среднее течение р. Налимы, лист О-49-XXI). Верхний возрастной предел определяется интрузивными соотношениями габбро-диабазов с прерывающими их гранитондами чуйско-кодарского комплекса (верховья р. Канушки, лист О-43-XXI).

Габброниды комплекса, по-видимому, характеризуют собой магматизм начальных этапов геосинклинального развития данного участка Байкальской складчатой системы.

УГОЛЬКАНСКИЙ ПЛУТОНИЧЕСКИЙ КОМПЛЕКС ($\nu Pt_i, ug$)

Граниты, гнейсо-граниты и мигматиты комплекса закартированы в поле распространения эфузивно-терригенных пород муйской серии*. Слагаются они небольшие пластовые тела, обычно вытянутые в северо-восточном направлении. Контакты их с вмещающими породами согласные, направление гнейсовых видимости внутри тел повторяет очертания поверхности контактов. Нижнепротерозойский возраст гранитондов угольканского комплекса определяется синорогенностью их со складчатостью пород муйской серии, наличием ксенолитов гнейсо-гранитов комплекса среди позднеорогенных по отношению к муйской серии нижнепротерозойских гранитондов чуйско-кодарского комплекса (верховья рек Мал. Чунь, Прав. Брамы) и находками пород комплекса в гальке

* Выделен угольканский комплекс впервые В. М. Таевским в бассейне р. Бол. Уголькан из состава куандинского комплекса Л. И. Салопа (Таевский и др., 1959, 1960, 1961).

базальных конгломератов среднепротерозойской тепторгинской серии на междуречье Яқдакара и Каверги (Таевский и др., 1960). Абсолютный возраст гранитондов угольканского комплекса (по мусковиту) 2170—1920 млн. лет (Великославинский и др., 1962).

Граниты светло-серые и желтовато-белые, средне- и крупнозернистые. Структура их гипидиоморфозернистая с элементами гранобластовой. Минеральный состав представлен кварцем 20—35%, альбит-олигоклазом № 10—12 ($Ng = 1,531$, $Np = 1,528$) 25—45%, микроклином — 25—35%, биотитом ($Ng = 1,670$) 3—5%, редко 10%, реже мусковитом, роговой обманкой и диопсидом (до 1%). Аксессорные минералы представлены рудным минералом, апатитом, цирконом и гранатом.

В целом для гранитов комплекса характерны: незначительный катаклаз, слабое развитие гнейсовых текстур, наличие гранобластовых структур, сильно развитая альбитизация плагиоклаза, калиевый метасоматоз и развитие вторичных низкотемпературных минералов.

Гнейсо-граниты слагают краевые части большинства пластовых тел и представлены светло-серыми, реже кремовыми мелкозернистыми породами с хорошо выраженной гнейсовой текстурой. Описываемые породы существенно лейкократовые и состоят из кварца — 25—30%, плагиоклаза (№ 10—15) — 45—55%, микроклина — 5—10%, биотита — 2—3%. Из аксессорных минералов развиты — рудный минерал, апатит и сфеен, реже циркон и ортит; из вторичных — мусковит, серцинат и минералы группы эпидота.

Для гнейсо-гранитов характерны: лепидогранобластовая структура с элементами катакластической и гипидиоморфозернистой, альбитизация, мирмекитизация и серцинизация плагиоклазов, замещение плагиоклаза микроклином, хорошо выраженный катаклаз кварца, плагиоклаза и микроклина.

Химический состав гранитов и гнейсо-гранитов угольканского комплекса представлен в табл. 1.

Таблица 1

Номер анализа	SiO ₂	TiO ₂	Al ₂ O ₃	Fe ₂ O ₃	FeO	MnO	MgO	CaO	N ₂ O	K ₂ O	P ₂ O ₅	H ₂ O	П. п. п.
1	74,28	0,13	13,88	0,42	1,48	Нет	0,18	1,78	4,00	3,90	0,057	0,02	—
2	75,35	0,14	13,49	0,07	0,87	0,02	0,09	0,57	3,20	5,15	0,03	Нет	0,06
3	71,79	0,07	14,78	0,03	1,23	0,02	0,09	0,50	2,73	7,90	0,05	Нет	0,57

Пересчет по А. Н. Заварницкому

	s	a	b	c	Q	$\frac{a}{c}$	c'	a'	m'	f'	n	φ	t
1	81,8	14,0	2,1	2,1	33,5	6,8	3,2	—	15,6	81,3	61,3	18,8	0,01
2	82,4	13,9	3,1	0,6	36,4	23,1	—	66,0	6,0	28,0	48,8	2,1	0,1
3	80,0	14,9	4,6	0,6	29,5	24,8	—	71,0	4,0	25,0	24,6	—	0,08

Примечание: 1 — гнейсо-гранит, обр. 3177 (правый склон Бол. Чуи, в 6 км ниже устья Петероку); 2, 3 — гранит (обр. 6460 и 6457 б (водораздел Прав. и Лев. Брамы). Все образцы коллекции Ю. К. Варзалова; аналитик Б. Э. Буковская, лаборатория ИГУ.

Анализируемые породы, по классификации А. Н. Заварницкого, относятся к классу пересыщенных кремнекислотой, группам умеренно богатых (анал. 1) и богатых щелочами (анал. 2 и 3); первый отвечает докембрийскому граниту, а второй и третий — аляскину средних химических составов магматических

горных пород, по Дэли. В них светлая часть резко преобладает над цветной и составляет (в атомных количествах) около 90—95% всей массы породы. В цветной части содержится алюминий (наличие слюды в шлифах), а двухвалентное железо сильно преобладает над магнием ($f^1 : m^1$), что служит признаком низкотемпературного образования пород. Светлая часть характеризуется преобладанием щелочных полевых шпатов над кальциевыми, а величина параметра « π », равная 61—25, заставляет предполагать незначительное (анал. 1, $n=61$) или повышенное содержание калиевых полевых шпатов в породе (анал. 2 и 3).

ЧУЙСКО-КОДАРСКИЙ ИНТРУЗИВНЫЙ КОМПЛЕКС

Позднеорогенные нижнепротерозойские гранитоиды этого комплекса слагают крупный массив и ряд штокообразных тел в верховых рек Правой и Левой Брамы, Канушки, Калайки, Бол. Сехты и Мал. Чуи. В структурном отношении они приурочены к ядерной части Чуйского антиклинария. В составе гранитоидов комплекса выделяются три фазы. Их нижняя возрастная граница определяется на основании прорывания ими эффузивно-терригенных образований муйской серии и гранитоидов угольканского комплекса. Верхняя возрастная граница гранитоидов чуйско-кодарского комплекса устанавливается на междуречье Мал. Чуи и Калайки несогласным залеганием на них мелкогалечных конгломератов тектогинской серии и прорыванием их гранитоидами ирельского комплекса среднего протерозоя. Наибольшая цифра абсолютного возраста для биотитовых и биотито-амфиболовых гранитов чуйско-кодарского комплекса Чуйского гранитного поля, полученная по биотиту и рассчитанная по новой константе полураспада радиоактивного калия, равна 1463 млн. лет (Великославинский и др., 1962).

Первая фаза. Равномернозернистые и порфировидные биотитовые и биотито-амфиболовые граниты ($\gamma_2 Pt_1 \delta k$) слагают дискордантный массив на междуречье Бол. Чуи, Мал. Чуи и Канушки. Массив имеет ширину около 40 км и простирается на северо-восток и юго-запад за пределы описываемой территории. Породы вмещающей рамы на северо-западном и юго-восточном контактах падают в направлении от массива, что указывает на его связь со структурой антиклинального типа (по Баддингтону).

Массивные разности этих гранитов характеризуются грубозернистым, реже средне- и мелкозернистым сложением. Цвет их зеленовато-розовый, зелено-вато-серый, серый, редко розовый и мясо-красный. Голубоватый опаловидный кварц и грубозернистое сложение придают им своеобразный облик, отличный от других пород района. Структуры гранитов гипидноморфозернистая и порфировидная с участками пойкилитовой и каталястической.

Биотитовые граниты содержат калишпат (20—50%), плагиоклаз (15—20%), кварц (26—35%) и биотит (5—15%). Из акцессорных минералов встречаются рудный минерал, сфен, реже апатит и ортит. Вторичные минералы представлены мусковитом, биотитом, серцицитом, хлоритом, реже эпидотом, пелитом и гидроокислами железа. Калишпат образует вкрапленники и мелкие зерна в составе основной массы породы. Вкрапленники представлены решетчатым микроклином. В составе основной массы породы калишпат метасоматически замещает плагиоклаз или в срастании с кварцем образует тонкие оторочки вокруг плагиоклаза. В этом случае он представлен ортоклазом ($Ng=1,522$; $Np=1,519$). Плагиоклаз количественно подчинен калишпату, а его состав меняется от альбита — олигоклаза № 8—14 для албитизированных разностей до олигоклаза — андезина № 26—32 в более основных. Кварц постоянно присутствует в двух генерациях: более ранний (идиоморфный) и более поздний (ксеноморфный по отношению к полевым шпатам). Из фемических минералов присутствует только биотит ($Ng=1,652—1,665$). Общая железистость его равна 60—65%. Повсеместно он мусковитизирован и замещен хлоритом, иногда содержит включения рудного минерала и сфена.

Биотито-амфиболовые граниты характеризуются присутствием 30—35% микроклина, 28—30% кварца, 20—26% плагиоклаза (олигоклаз № 18—25. олигоклаз — андезин № 30—35), 10—17% амфибила, плеохроирующего в зеле-

но-коричневых тонах, с $cNg=16—18$, $2V=48—56^\circ$. Из акцессорных минералов наблюдаются циркон, апатит, рудный минерал и ортит.

Среди гранитоидов первой фазы чуйско-кодарского комплекса широко распространены катаклазиты и милониты по биотитовым и биотито-амфиболовым гранитам. Катаклаз проявился в деформации, разрыве и раздроблении лейст плагиоклаза и зерен кварца и даже перекристаллизации последнего. Породы при этом приобрели катакластические, цементные, очковые, оксиофитовые и милонитовые структуры, гнейсовидные и свилеватые текстуры.

Химические анализы описываемых гранитов приведены в таблице 2 (анализы 4, 5 и 6).

По классификации А. Н. Заварницкого, анализируемые породы относятся к классу пересыщенных кремнекислотой пород, группе богатых щелочами. Светлая часть в них резко преобладает над цветной ($\frac{v}{a+c+Q}$ составляет 80—95%) и характеризуется преобладанием щелочных полевых шпатов над кальциевыми. При этом в цветной части содержится алюминий, а железо сильно преобладает над магнием ($f^1 : m^1 = 75,0—43,0 : 21,2—10,0$), что служит признаком низкотемпературного образования пород. При условии полной кристалличности породы содержат кварц в количестве 35,8—18,1%.

Вторая фаза. Мелкозернистые граниты ($\gamma_2 Pt_1 \delta k$) слагают штокообразные тела, имеющие в плане площадь от 2—3 до 100 км². Некоторые из них приурочены к зонам интенсивного катаклаза и, по-видимому, являются плутонами разломов. Контакты их с вмещающими породами крутие, резкие. Во II фазу они выделяются на основании установления интрузивных контактов с гранитоидами первой фазы на водоразделах Большой и Малой Чуи, Прав. Брамы и Бол. Чуи (Варзалов и др., 1962, 1963). Для них характерны розовато- и голубовато-серая окраска, слабо выраженная гнейсовидность, гранитовая, гипидноморфно- и аллотриоморфозернистая структуры с участками гранофиброй и порфиробластической. Граниты содержат: плагиоклаз № 5 (38—40%), калишпат (25—30%), кварц (21—25%), биотит (5—13%). Роговую обманку (0—2%). Из акцессорных минералов присутствуют титаномагнетит, апатит, сфен и ортит. Вторичные минералы представлены: биотитом, мусковитом, хлоритом, серцицитом, реже эпидотом, пелитом, сфером и гидроокислами железа.

Как видно из результатов анализов (см. табл. 2, анализы 7, 8 и 9), в породах светлая часть резко преобладает над цветной и составляет 90—97%, что на 5—10% больше, чем в гранитоидах первой фазы. При этом в цветной части содержится алюминий (Al^{II}), а железо преобладает над магнием ($f^1 : m^1 = 36,0—90,0 : 8—32,2$), что указывает на низкотемпературное образование гранитов. В светлой части щелочные полевые шпаты преобладают над кальциевыми и содержатся свободный кремнезем ($Q=21—34,7$).

Третья фаза. Пегматоидные граниты, плагиограниты и пегматиты ($\gamma_2 Pt_1 \delta k$) выделяются на основании установления интрузивных контактов с гранитоидами I и II фазы чуйско-кодарского интрузивного комплекса (водоразделы рек Бол. Сехты и Соболевки, Мал. Чуи и Калайки, Нерукана и Прав. Брамы). Они слагают штоки размером до 2×2 км, небольшие дайки и жилы. Контакты их с вмещающими породами крутие, резкие, секущие. Для них характерны лейкократовые средне- и крупнозернистые, часто порфировидные разновидности массивной текстуры. Макроскопически в них всегда хорошо заметны голубовато-, светло-серые и розовато-белые полевые шпаты и сиеневого цвета кварц, образующий гнездообразные скопления. На фоне кварц-полевошпатовой массы встречаются редкие чешуйки слюд.

В пегматитах иногда присутствуют турмалин и гранат. Преобладающими структурами пород III фазы являются: гипидноморфно-, аллотриоморфозернистая, макропегматитовая и порфировая; структурами наиболее сильно катаклизированных разностей — катакластическая и оксиофитовая.

Главные минералы в пегматоидных гранитах представлены: полевыми шпатами (до 60%), кварцем (35—40%), биотитом ($Ng=Nm=1,609—1,654$) или пироксеном (1—3%). В пегматитах присутствует до 10% мусковита. Аксес-

Таблица 2

Чуйско-кодарский комплекс	Номер анализа	SiO_2	TiO_2	Al_2O_3	Fe_2O_3	FeO	MnO	CaO	Na_2O	K_2O	P_2O_5	H_2O	П. п.
Первая фаза	4	69,92	0,5	13,18	1,16	3,33	0,05	0,75	1,49	3,20	5,40	0,138	0,07
	5	72,73	0,37	12,58	1,10	2,96	0,05	0,28	1,47	2,62	4,75	0,07	0,02
	6	71,51	0,45	13,45	1,61	2,68	0,04	0,04	0,92	2,92	3,85	0,06	0,05
	7	70,57	0,28	15,76	0,71	1,92	0,04	0,70	2,21	5,60	0,086	—	0,06
Вторая фаза	8	71,83	0,37	12,85	3,24	2,46	0,09	0,29	2,31	4,55	1,18	0,08	—
	9	70,13	0,37	15,04	0,78	1,92	0,028	0,77	1,92	4,10	4,20	0,087	0,07
Третья фаза	10	75,98	0,075	12,73	0,04	1,01	0,02	0,22	1,08	3,40	4,80	0,058	0,03
	11	74,21	0,11	13,82	0,01	1,37	0,01	0,18	0,94	0,96	3,42	4,90	0,03
	12	75,93	0,06	13,75	0,12	0,94	—	—	1,55	4,38	2,30	0,03	—

Пересчет по А. Н. Заварницкому

Номер анализа	s	a	b	c	Q	$\frac{a}{c}$		c'	a'	m'	f'	n	φ	t
						a	c							
4	78,36	14,6	5,69	1,33	26,2	10,9	8,23	—	—	21,17	70,59	47,7	16,47	0,51
5	81,0	12,3	4,9	1,7	35,8	21,7	—	—	41,0	10,0	75,0	45,4	19,1	0,4
6	78,6	11,5	8,9	1,0	33,2	11,5	—	—	—	16,0	43,0	53,7	14,8	0,4
7	77,15	16,88	4,25	1,70	21,05	9,92	20,0	—	—	26,15	53,84	70,0	12,34	0,34
8	80,3	11,6	5,6	2,6	34,7	4,4	2,0	—	—	8,0	90,0	84,9	47,6	0,4
9	78,8	14,93	3,97	2,29	25,46	6,52	—	—	8,47	32,2	59,32	59,46	40,54	0,34
10	83,49	14,00	1,25	1,25	37,72	11,1	—	—	—	26,3	73,7	51,88	—	—
11	81,7	14,1	3,0	1,1	34,2	12,8	—	—	—	48,0	11,0	41,0	—	0,08
12	83,3	12,4	2,4	1,8	40,1	6,8	—	—	—	65,0	—	35,0	74,6	2,7

При меч а ие: 4 — биотитовый гранит, обр. 4160 (верховье Калайки); 5 — биотитовый гранит, обр. 4363 (водоотдел Бол. Сехты и Канушки); 8 — биотитонит, обр. 64466 (водораздел Калайки и Лев. Брамы); 7 — биотитовый гранит, обр. 4119 (верховье Нерукана); 6 — биотито-амфиболовый гравийный гранит, обр. 4401 (верховье Соболевки); 9 — биотитовый гранит, обр. 4290 (верховье Прав. Брамы); 10 — пегматит, обр. 4094 (Верховье Мал. Чуи); 11 — пегматоидный гранит, обр. 4276 (левобережье Канушки); 12 — плагиогранит, обр. 4357 (левобережье Бол. Сехты). Все анализы из коллекции № 11715 Ю. К. Варзалова. Анализик Б. Э. Буковская, лаборатория ИГУ.

сирные минералы представлены: апатитом, сфеном и цирконом. Полевые шпаты в плагиогранитах представлены альбит-олигоклазом, а в пегматитах — гиалофаном ($Ng=1,540$; $Np=1,537$; $Ng-Np=0,003$) и микроклином ($Ng=1,522-1,525$; $Np=1,519-1,522$; $Ng-Np=0,003$). Для всех пород присущи мусковитизация и хлоритизация биотита, альбитизация и замещение плагиоклазов решетчатым микроклином, а пироксена — клиноцизитом. Химический состав описываемых пород приведен в табл. 2 (анал. 10—12). Анализируемые породы содержат потенциальный кварц ($Q=34-40$) и калиевый полевой шпат (анализы 10 и 11, $n<65$). Исключение составляет анализ 12 ($n=74,6$), где полевые шпаты представлены плагиоклазом. Светлая часть пород составляет около 94—97 %. В цветной части содержится алюминий (наличие слюды), а двухвалентное железо резко преобладает над магнием ($F: m^2$), что может служить указанием на низкотемпературное образование пород.

В заключение следует отметить, что в общем плане распространения интрузий чуйско-кодарского комплекса региональной зональности в составе и структурах пород не установлено, она проявляется лишь в частных случаях.

Эзоконтактовые изменения вмещающих пород заключаются в ороговиковании и незначительной фельдшпатизации, но эти процессы обычно развиваются в непосредственной близости от интрузивных тел. Слабая активность интрузий проявлена и в пониженной асимметричной их способности: контакты интрузий с ксенолитами и породами вмещающей рамы резкие, петрохимические изменения эндоконтактового ореола несущественны.

Автометаморфические явления наиболее характерны для апикальных частей интрузий. Сюда относятся следующие процессы: микроклинизация, биотитизация, мусковитизация, амфиболизация и ожелезнение. Наиболее слабо проявлены альбитизация, перититизация и миремкитизация пород.

Развитие первичных гранитных структур и текстур, грубая конформность контакта со структурами пород рамы свидетельствуют об очень слабом участии данной интрузии в складчатых процессах и, следовательно, о внедрении ее в условия затухающей тектонической деятельности. Катализ и миллинигация пород являются более поздними процессами.

СРЕДНЕПРОТЕРОЗОЙСКИЕ ИНТРУЗИИ

ИРЕЛЬСКИЙ ИНТРУЗИВНЫЙ КОМПЛЕКС *

В состав этого комплекса входят изверженные породы преимущественно кислого ряда — граниты, граносиениты и гранит-порфиры. Менее развиты основные породы типа диабазов и габбро-диабазов. Нижняя возрастная граница гранитоидов этого комплекса определяется интрузивными контактами их с гранитоидами нижнепротерозойского чуйско-кодарского интрузивного комплекса (бассейн рек Калайки и Канушки) и с отложениями хибленской свиты акитканской серии среднего протерозоя в бассейнах рек Чан и Калимы (Ревякин, 1961). Верхняя возрастная граница гранитоидов рассматриваемого комплекса устанавливается на междуручье Калайки и Канушки наличием обломков его пород в верхнепротерозойских конгломератах витимской свиты **.

Первая фаза. Диабазы и габбродиабазы ($\text{Bm}_1 \text{Pt}_2 \text{Ir}$) слагают штокобразные тела, имеющие в плане почти изометричную форму (водоразделы Большой и Малой Чуи, Правой и Левой Брамы). Размеры их не превышают 1 km^2 ; контакты с вмещающими породами секущие, резкие. Поверхности кон-

* По мнению В. М. Таевского, гранитоиды рассматриваемого комплекса являются фациальной разновидностью чуйско-кодарского интрузивного комплекса.

** Абсолютный возраст гранитоидов ирельского комплекса равен 528—560 млн. лет (Лаборатория абсолютного возраста ИГУ) и, очевидно, отражает не истинный возраст гранитоидов, а верхнюю границу их метаморфизма.

тактов падают под углом близким к вертикальному. Приуроченность к зонам региональных разломов — зонам интенсивной милюнитизации и катаклаза, а также расположение по 3—5 и более тел вместе свидетельствует о том, что внедрение их происходило по наиболее ослабленным зонам. Диабазы и габро-диабазы представлены зеленовато-черными относительно свежими среднезернистыми разновидностями, покрытыми ржавыми потеками гидроокислов железа. Они обладают диабазовой, габро-офитовой и аллотриморфозернистой структурами с участками скелетных и пойкилитовых, усложненными катаклазическими структурами.

Количественно минералы в них распределяются следующим образом: плагиоклаз № 50 ($Ng=1,563$; $Nm=1,557$) — 30—40%, роговой обманки ($cNg=20\%$) — 40—50%, аугита ($cNg=42—44\%$; $Ng=1,720$; $Nm=1,706$; $Np=1,694$) — 15—20%, кварц до 2%; акцессорные — магнетит, гематит, пирит, пирротин, апатит и сфен. Характерны замещения одних минералов другими: пироксена — роговой обманкой и клиноцизитом, роговой обманки — биотитом и мелкочешуйчатым хлоритом, плагиоклаза — минералами группы эпидота ($Ng=1,750$; $Nm=1,737$; $Np=1,726$), соссюритом, редко серицитом, магнетита и гематита — сфеном.

Контактовое воздействие диабазов и габро-диабазов на вмещающие породы выразилось в эпидотизации и хлоритизации последних. В контакте с гранитоидами II фазы диабазы и габро-диабазы обогащаются кварцем.

Химические анализы диабазов и габро-диабазов первой фазы ирельского комплекса помещены в табл. 3 (анализы 13, 14 и 15).

По классификации А. Н. Заварницкого, проанализированные породы относятся к четвертому классу, группе очень бедных щелочами, к подгруппе лейкомеланократовых пород (группа 15, А). Цветная часть в породах составляет около 60%, при этом в ее составе основную роль играют магнезиально-железистые компоненты, что видно из соотношения $(m^1+f^1) : c \approx 4,5$. Светлая часть породы сложена плагиоклазом ($\frac{a}{c} = 0,9—1,3$), значительный процент

которого занимает анортитовая составляющая. Калиевые полевые шпаты в породах отсутствуют ($n=71,1—77,41$).

Вторая фаза. Граниты и гранит-порфиры ($\gamma_2 Pt_2 Ir$) широко распространены в междуречье Калайки, Канушки и Брамы, где они слагают массивы, имеющие площадь до 30 км². Контакты их с вмещающими породами секущие, резкие, с углами падения от 75 до 80°. Интрузивный контакт с породами первой фазы установлен на левобережье р. Канушки.

Граниты имеют буровато-серую и серую окраску, порфировидную и гипноморфозернистую, переходные к гранобластовой, структуры. Они состоят из плагиоклаза (альбит и олигоклаз № 15) — 25—30%, кварца — 25—28%, микроклина — 35—40%, амфибала — 5—7%, биотита ($Ng=Nm=1,658$) — 1—3% и акцессорных минералов — магнетита, ортита, апатита, сфена, турмалина и циркона.

Для гранитов характерны: округлая форма зерен кварца и резковолнистое их угасание; пойкилитовые включения кварца и плагиоклаза в кристаллах микроклина; незначительный катаклаз; замещение амфибала биотитом и хлоритом, биотита — мусковитом, хлоритом и сагенитом, олигоклаза — серицитом, а по периферии вторичным ксеноморфным альбитом ($Ng=1,531$; $Np=1,528$); развитие минералов постмагматической генерации по системе микротрещин.

Гранит-порфиры слагают краевые части крупных гранитных тел и мелкие дайки. С гранитами они связаны постепенными переходами. Цвет их розовато-или оливково-серый. На общем фоне мелкозернистой основной массы в них выделяются таблитчатые и округлые вкраплениники плагиоклаза, кварца и микроклина размером до 4 мм, количество которых достигает 40—45% объема породы. Структура пород порфировая или бластопорфировая с микроПранобластовой основной массой, состоящей из калишпата, плагиоклаза, кварца, биотита, рудного минерала, апатита и циркона.

Химические анализы гранитов второй фазы ирельского комплекса приведены в табл. 3 (анализы 16, 17 и 18).

Таблица 3

Ирельский комплекс	Номер анализа	SiO ₂	TiO ₂	Al ₂ O ₃	Fe ₂ O ₃	FeO	MnO	MgO	CaO	Na ₂ O	K ₂ O	P ₂ O ₅	H ₂ O	П. п.
Первая фаза	13	51,42	0,87	14,54	2,44	8,32	0,16	6,98	9,54	2,03	1,18	0,14	0,08	2,10
	14	53,04	0,80	16,11	1,79	6,66	0,15	5,92	8,71	2,83	1,53	0,21	0,01	1,62
	15	50,93	1,53	12,47	3,50	12,12	0,27	5,02	8,95	2,45	1,05	0,243	0,10	1,66
Вторая фаза	16	70,57	0,37	14,51	0,43	2,68	0,04	0,55	1,40	3,14	5,0	0,13	—	0,38
	17	73,99	0,30	12,77	0,39	2,46	0,02	0,41	0,50	2,73	4,10	0,07	—	0,71
	18	72,91	0,32	13,91	—	2,60	0,03	0,48	0,65	3,02	4,78	0,06	—	0,76
Третья фаза	19	65,07	0,50	14,80	1,98	2,89	0,06	2,42	1,63	4,92	4,45	0,18	0,10	1,57
	20	67,92	0,87	13,14	1,75	4,63	0,09	0,75	2,64	2,92	3,96	0,26	0,15	0,38
	21	62,17	0,67	15,75	2,15	3,90	0,07	2,74	2,94	3,78	3,60	0,15	0,15	1,87

Пересчет по А. Н. Заварницкому

Номер анализа	<i>s</i>	<i>a</i>	<i>b</i>	<i>c</i>	<i>Q</i>	$\frac{a}{c}$	$\frac{a}{c'}$	<i>c'</i>	<i>a'</i>	m'	<i>f'</i>	<i>n</i>	φ	<i>t</i>
13	59,9	6,2	27,2	6,7	0,7	0,9	19	—	—	44	37	71,1	7,6	1,1
14	62,3	8,6	22,4	6,7	0,7	1,2	18	—	—	45	37	74,1	6,8	1,1
15	60,75	6,9	29,08	4,9	1,02	1,3	20,6	—	—	29,0	50,35	77,41	10,3	2,19
16	78,8	13,9	5,6	1,7	28,1	8,1	—	—	—	31,0	52,0	49,0	7,1	0,4
17	80,8	12,8	5,7	0,6	34,6	21,1	—	—	39,9	11,3	48,8	45,1	6,8	0,3
18	79,4	13,0	6,9	0,7	32,1	18,5	—	—	48,5	11,9	39,6	49,0	—	0,3
19	73,9	15,4	8,8	1,9	15,1	8,1	—	—	5,0	45,0	50,0	57,9	18,4	0,5
20	77,6	12,1	7,7	2,6	38,4	4,6	6,0	—	—	17,0	77,0	52,8	19,4	0,9
21	74,0	14,0	8,0	4,0	16,0	—	—	3,5	3,0	41,0	55,5	61,6	16,4	0,87

Приимечание: 13 — диабаз, обр. 439в (левобережье Бол. Сехты); 14 — диабаз, обр. 4349 (правобережье Бол. Сехты); 15 — габбро-диабаз, обр. 4090 (водораздел Петерсона и Мал. Чун); 16 — биотит-амфиболовый гранит, обр. 6354 (водораздел Калайки и Канушки); 17 — гранит-амфиболовый гранит, обр. 6441 (левобережье Калайки); 18 — гранит-порфир обр. 6412 (левобережье Калайки); 19 — граносланец, обр. 4282 (левобережье Канушки); 20 — амфиболо-биотитовый гранит, обр. 4422 (левобережье Канушки); 21 — граносланец, обр. 4276 (правобережье Мал. Чун). Все образцы из коллекции № 1715 Ю. К. Варзалова. Аналитик Т. В. Сереброва, лаборатория ИГУ.

Граниты, по классификации А. Н. Заваринского, относятся к породам, пересыщенным кремнекислотой, ряду пересыщенных алюминием и входят в группу богатых щелочами (группа 3). Светлая часть в них составляет 87—89,4% и характеризуется преобладанием щелочных полевых шпатов над кальциевыми. Параметр $n=45-49$ указывает на наличие в породе калиевых полевых шпатов. В цветной части гранитов железо сильно преобладает над магнием ($F^1 : m^1 = 52,0 - 39 : 17,0 - 11,9$), что может служить признаком низкотемпературного их образования.

Эзоконтактовое воздействие гранитоидов второй фазы выражается появлением во вмещающих породах вторичного биотита, мусковита, амфибола и кварца.

Третья фаза. Граниты и граносенинты ($\gamma_1 \text{Pt}_2 \text{Ir}$) слагают штокообразные тела площадью от 4 до 90 км² в верхнем течении рек Канушки и Мал. Чунь. Контакты их с гранитоидами чуйско-кодарского комплекса, секущие, резкие. Непосредственные взаимоотношения этих гранитов с гранитоидами II фазы не наблюдались, поэтому отнесение их к III фазе ирельского комплекса основано на сопоставлении и полном петрографическом сходстве с разновидностями бассейна р. Ирели (Лобанов, 1962). По внешнему виду это зеленовато-серые, мясо-красные или зеленовато-розовые средне- и крупнозернистые, часто порфировидные породы гипидиоморфнозернистой (участками гранофировой) структуры, переходящей в бластическую. По минеральному составу среди гранитов выделяются биотитовые и амфиболово-биотитовые разновидности, связанные между собой постепенными переходами. Состав их следующий: плагиоклаз № 15—30 (35%), кварц (25—30%), микроклина (20—25%), биотит (5—12%), амфибола (3—5% — для амфиболово-биотитовых разностей), пироксен и мусковит. Аксессорные минералы представлены апатитом, турмалином, цирконом, ортитом, сфеином и титаномагнетитом.

Граносенинты в отличие от гранитов, характеризуются несколько пониженным количеством кварца (10—15%) и повышенным содержанием фемических минералов (12—17%). Основной процент их темноцветных минералов приходится на обыкновенную роговую обманку (12—15%). С гранитами граносенинты связаны постепенными переходами.

Для описываемой группы гранитоидов характерны автометаморфические и вторичные процессы, которые проявился в пелитизации микроклина, серicitизации и эпидотизации плагиоклаза, альбитизации полевых шпатов, хлоритизации биотита с выделением сагенита и рудного вещества и в преобразовании титаномагнетита в сфеин.

Химический состав гранитов и граносенинтов III фазы ирельского комплекса (табл. 3, анализы 19,20 и 21) характеризуется повышенной кислотностью (класс 2, по А. Н. Заваринскому), резким преобладанием светлых компонентов (79—87,4% в атомных количествах) над цветными, щелочными полевыми шпатами над кальциевыми ($\frac{a}{c} = 3,5 - 8,1$) и железа над магнием ($F^1 : m^1 = 77,0 - 50,0 : 45,0 - 17,0$). Последнее говорит о низкотемпературном формировании пород, содержащих калиевый полевой шпат ($n=57,0 - 61,6$) и кварц.

ПОЗДНЕПРОТЕРОЗОЙСКИЕ ИНТРУЗИИ

МАМСКО-ОРОНСКИЙ ПЛУТОНИЧЕСКИЙ КОМПЛЕКС

В составе мамско-оронского плутонического комплекса выделяются две фазы. Их общими чертами являются: наличие в пределах площади развития пород комплекса многочисленных ксенолитов — останцев метаморфизованных отложений протерозоя, широкое распространение гнейсовых текстур, простирации которых гармоничны с ориентировкой структур вмещающей толщи, обильное развитие процессов мигматизации различной интенсивности (вплоть до полного исчезновения вмещающего субстрата) и насыщенность кварц-полевошпатовым и пегматитовым материалом, нередко являющимся носителем промышленных концентраций мусковита.

Абсолютный возраст синорогенных гнейсо-гранитов и позднесинорогенных пегматитов мамско-оронского комплекса равен 297—392 млн. лет (определение Лабор. геол. докембрия АН СССР, Великославинский и др., 1962). Цифры абсолютного возраста не отражают истинного времени образования гранит-пегматитов и пегматитов и возраст пород весьма завышен. Скорее всего они показывают верхнюю границу метаморфизма пород, слагающих Мамский синклиниорий.

Первая фаза. Гнейсо-граниты, граниты и мигматиты ($\gamma_1 \text{Pt}_2 \text{Ir}$) широко распространены в бассейнах верхнего и среднего течения рек Ковакты и Ильгидяка; довольно крупные тела их обнажаются также в низовьях рек Брамы и Мочикита. Распределение тел гнейсо-гранитов и гранитов согласуется с общим планом структуры вмещающих пород. Интрузии образуют цепочки и лентообразные тела, протягивающиеся на несколько десятков километров. Ширина выходов их в плане обычно не превышает 3—3,5 км. По своей морфологии они, видимо, относятся к типу бескорневых тел пластовой и линзообразной формы.

Контактовое воздействие гнейсо-гранитов и гранитов на вмещающие породы выразилось в мигматизации, степень интенсивности которой постепенно уменьшается по мере удаления от тел гнейсо-гранитов. Вмещающие породы, находящиеся в непосредственной близости от контакта, приобрели облик небулитов, сохранивших направление слоистости.

В пределах изученного района гранитоиды первой фазы мамско-оронского комплекса однообразны по своим текстурным и структурным особенностям. Внешне они представляют собой средне-, реже мелкозернистые породы светло-серого цвета, иногда обладающие розоватым оттенком. Текстура чаще гнейсовидная, обусловленная плоскапарALLELной ориентировкой биотита. Гнейсовидность в них совпадает с гнейсовидностью или сланцеватостью вмещающих пород. Редко гнейсо-граниты имеют полосчатую текстуру, еще реже массивную. Структуры гранитоидов: аллотриморфно, гипидиоморфнозернистая, грано- и лепидогранобластовая. Иногда наблюдаются порфиробластические выделения микроклина размером до 1 см. По составу гранитоиды I фазы не отличаются разнообразием и представлены биотитовыми и изредка амфиболово-биотитовыми разновидностями. Средний количественно минеральный состав гнейсо-гранитов может быть выражен следующими данными: калиевого полевого шпата 40—45%, кварца 25—30%, олигоклаза 25—27%, биотита 0—10%, амфибола до 5%; апатит, циркон, рутил, сфеин, гранат, эпидот, ортит и магнетит в сумме не превышают 1%. Из вторичных минералов присутствуют: альбит, мусковит, хлорит, эпидот, лимонит и серцинат. В некоторых разновидностях заметны отклонения количественно-минералогического состава.

Химический состав гранитоидов I фазы приведен в табл. 4.

По классификации А. Н. Заваринского, граниты и гнейсо-граниты относятся к классу пород, пересыщенных кремнекислотой, группе богатых щелочами; лейкорократовая часть в них резко преобладает над цветной и составляет 90% общего объема породы. Величина параметра n указывает на преобладание калиевых полевых шпатов над кислыми плагиоклазами. В цветной части в умеренном количестве содержится алюминий, а двухвалентное железо преобладает над магнием, что служит признаком низкотемпературного образования пород.

О генезисе мамско-оронских гнейсо-гранитов и гранитов существует несколько мнений. Мы придерживаемся точки зрения Л. И. Салопа (1959), В. М. Таевского (1959) и др., рассматривающих образование их путем гранитизации с палингнезом и анатексисом вмещающих пород.

Согласно залегание тел гнейсо-гранитов и гранитов, зависимость внутреннего строения массивов от структурного плана вмещающих пород, наличие гнейсовых текстур и бластических структур свидетельствуют о формировании гранитоидов I фазы одновременно со складчатостью патомской серии.

Нижняя возрастная граница I фазы устанавливается прорыванием гнейсо-гранитами и гранитами образований патомской серии (водораздел Большой Чунь и Правой Брамы и др.). Верхняя возрастная граница устанавливается по фактам пересечения их гранит-пегматитами и пегматитами II фазы, гранит-

порфирами качайского комплекса (водораздел Ковакты и Бол. Чунь) и границами конкудеро-мамаканского интрузивного комплекса за пределами площади листа, в бассейне р. Конкудеры (Таевский, 1959).

Вторая фаза. Гранит-пегматиты, пегматиты и слюдоносные пегматиты ($\text{ур}_2 \text{P}_{\text{t}}_3 \text{po}$) на площади листа играют весьма существенную роль не только по своей распространенности, но и в силу своей промышленной значимости как носители мусковита. Наибольшее распространение гранит-пегматиты и пегматиты получили в бассейнах рек Чуйского Олонгро, Чуйского Давчакита, Мочикита, Мочикиткана, Алокмочака, Ковакты и Ильгидяка, где они тяготеют главным образом к отложениям согдиондонской и слюдянкинской свит. Они слагают довольно крупные тела (от 1–2 до 15 км в длину), содержащие ксенолиты пород патомской серии. Взаимоотношения с последней сложные, преобладающими являются крутые секущие контакты. В полосе развития витимской и конкудерской свит гранит-пегматиты и пегматиты образуют лишь небольшие тела и отдельные, согласные или продольно секущие жилы.

Таблица 4

Номера анализов	SiO_2	TiO_2	Al_2O_3	Fe_2O_3	FeO	MnO	MgO	CaO	Na_2O	K_2O	P_2O_5	H_2O	П. п. п.
22	72,60	0,22	12,94	0,63	2,10	0,028	0,87	1,13	3,60	5,00	0,069	0,04	0,33
23	73,60	0,38	11,97	0,95	2,13	0,052	0,65	0,60	2,20	6,80	0,077	0,06	0,34
24	73,28	0,36	12,49	0,70	2,53	0,04	0,40	0,84	2,30	6,50	0,074	0,02	0,20

Пересчет по А. И. Заварницкому

	s	a	b	c	Q	$\frac{a}{c}$	c'	a'	m'	f'	n	t
22	80,15	14,68	4,17	1,02	29,90	14,4	7,93	—	33,33	58,73	52,25	0,24
23	81,29	14,15	3,83	0,73	33,55	19,3	—	—	27,58	72,42	32,71	0,4
24	81,18	14,05	3,77	1,00	33,26	14,0	—	7,02	17,54	75,43	34,9	0,32

Примечание: 22 — гранит, обр. 139 (правый склон Вол. Чунь, в 10 км ниже устья Нерукана); 23 — гнейсо-гранит, обр. 3100 (водораздел Ковакты и Ильгидяка); 24 — гнейсо-гранит, обр. 3118 а (среднее течение Ильгидяка). Все анализы — из коллекции Ю. К. Варзала; аналитик Буковская, лаборатория ИГУ.

Изменения пород вмещающей толщи на контакте с пегматитами выражались в образовании при взаимодействии с известняками зон известково-силикатных пород. Мощность таких зон варьирует от 0,5 до 2–3 м. В известняках, несколько удаленных от контакта, наблюдаются процессы тремолитизации, кальцитизации, оталькования и графитизации, а в сланцах — процессы мусковитизации и частично тремолитизации. В эндоконтактовой части пегматитовых тел породы становятся более мелкозернистыми и в них появляются гранат, биотит, тремолит.

Гранит-пегматиты обладают чертами, свойственными и гранитам, и пегматитам. Нередко гранит-пегматиты почти не отличаются от пегматитов гранитной и аplitовидной структур или же переходы от одних к другим практически неуловимы. Часто гранит-пегматиты обладают неравномерной зернистостью и содержат обособления, состоящие из одного, двух, а иногда и более крупных зерен одного и того же компонента. Эти обособления характеризуются нечетковыраженными контурами и фактически представляют участки пе-

рехода гранит-пегматита аллотриоморфнозернистой структуры в пегматит пегматоидной структуры.

Внешние гранит-пегматиты представляют своеобразные серые породы массивной, реже гнейсовидной текстуры. Мелкозернистые разности имеют гранитную или аPLITовидную структуры. В среднезернистых и крупнозернистых гранит-пегматитах отмечается аллотриоморфнозернистая структура, а в гнейсовидных разновидностях — бластопорфировидная. Состав их следующий: плагиоклаз (олигоклаз № 15–25) в среднем 53%, микроклина 15%, кварца 25%, биотита 1–2%, мусковита 1–3% и в редких случаях, роговой обманки до 1%. Из акцессорных минералов присутствуют: циркон, сфеин, гранат, реже встречаются апатит, берилл, рутил и магнетит.

Пегматиты получили наибольшее распространение в бассейнах рек Чуйского Давчакита, Мочикита и Мочикиткана. Мощность пегматитовых тел варьирует от нескольких сантиметров до 40–50 м; протяженность их иногда превышает 100 м. Среди гранит-пегматитов они образуют многочисленные блоковые и жилоподобные обособления, границы которых с гранит-пегматитами обычно выражены нечетко. Пегматитовые тела и жилы, размещенные среди метаморфических образований, имеют более четкие контакты и по отношению к вмещающей толще являются согласными, диагонально-, поперечно- и продольно секущими.

Часто в строении пегматитовых тел и жил наблюдается зональность. Пегматоидный пегматит, слагающий центральные части тел, переходит в крупно-, а затем в мелкозернистый, причем плагиоклазовые разновидности пегматита тяготеют к зальбандам пегматитовых тел, а микроклин-плагиоклазовые, с которыми наиболее часто связывается ослыпление, — к их центру. В редких случаях зональность отмечается и в графических пегматитах, где наиболее крупные ихтиоглипты кварца тяготеют к осевой части жилы, прымкая к обособлениям пегматоидного пегматита. К периферии жил ихтиоглипты кварца постепенно уменьшаются в размере и исчезают совсем. Пегматит становится обычным, мелкозернистым.

По количественному соотношению плагиоклаза и микроклина пегматиты делятся на существенно микроклиновые, плагиоклаз-микроклиновые, микроклин-плагиоклазовые и существенно плагиоклазовые. Среди пегматитов, в зависимости от размера зерен и от взаимоотношения минеральных компонентов, можно выделить две генетические группы структурных разновидностей: первичные и вторичные. К первичным структурным разновидностям пегматитов, возникших в результате кристаллизации магматического расплава, относятся гранитная и аPLITовидная. К вторичным структурным разновидностям пегматита, образовавшимся в ходе перекристаллизации и метасоматического преобразования первичных структур, принадлежат графическая, апографическая и пегматоидная (блоковая) структуры.

Пегматиты гранитной структуры слагают довольно большие тела различной формы. Контакты их с вмещающими породами секущие. По внешнему облику это светло-серые массивные породы, состоящие из плагиоклаза (45%), микроклина (20%), кварца (30%), биотита (1–3%), мусковита (2–3%). Из акцессорных минералов присутствуют рудный минерал, циркон, сфеин, гранат, реже встречаются апатит, берилл и рутил.

Пегматиты аPLITовидной структуры имеют ограниченное распространение и встречаются небольшими участками среди гранит-пегматитов, а также среди пегматитов других структурных разновидностей. Для них характерна массивная текстура, равномернозернистое сложение и одинаковая степень идиоморфизма минералов. По вещественному составу в них выделяются существенно плагиоклазовые и плагиоклазово-микроклиновые разновидности пегматитов. Состав переходных разновидностей аналогичен составу пегматитов гранитной структуры.

Пегматиты графической структуры встречаются крайне редко. Образуют они полосы, линзы или участки неправильной формы, располагающиеся среди других структурных разновидностей пегматитов. Иногда в телах, сложенных графическим пегматитом, наблюдается зональное распределение ихтиоглиптов кварца: крупные вростки кварца размером до 2×2 см тяготеют к центру тела.

а на периферии они постепенно уменьшаются до полного исчезновения. Из полевых шпатов чаще всего присутствует микроклин, реже плагиоклаз и по этому пегматиты графической структуры разделяются на микроклиновые и плагиоклазовые разновидности.

Пегматиты апографической структуры распространены очень широко и слагают иногда крупные участки пегматитовых тел площадью в несколько тысяч квадратных метров. По внешнему облику это светло- или розовато-серые породы разнозернистого сложения (размер зерен от 0,3 до 5,0 см). Минеральный состав их представлен: микроклином (40—50%), плагиоклазом (15—40%) и кварцем (29—40%). Реже наблюдаются чисто плагиоклазовые или чисто микроклиновые разновидности. В качестве второстепенных и акессорных минералов присутствуют слюда до 1—5% и изредка гранат до 1%, сфен, апатит, магнетит, реже циркон и рутил. Иногда в пегматитах апографической структуры наблюдаются обособления пегматитов пегматоидной, графической или аплитовидной структур.

Пегматиты пегматоидной (блоковой) структуры представляют большой практический интерес: именно с ними в большинстве случаев связано промышленное ослаждение. Описываемые пегматиты, располагаясь в небольшом удалении от контакта с вмещающими метаморфическими породами, реже в осевых частях пегматитовых тел, образуют различные жильные, линзовидные и неправильной формы обособления в пегматитах других структурных разновидностей. Размеры обособлений пегматита пегматоидной структуры различны, чаще всего встречаются линзы длиной от 10 до 50 м и мощностью в несколько метров. Иногда эти линзы размещаются в ряд, образуя четко-видные цепочки, протягивающиеся на значительные расстояния (до 200 м и более).

По размеру слагающих компонентов (кварца, полевых шпатов и слюд) выделяются собственно пегматоид (размер индивидов от 2 до 5 см), блоковый пегматоид (размер индивидов от 5 до 20 см) и гигантоблоковый пегматоид (размер индивидов свыше 20—30 см). В последних двух разновидностях мусковит часто образует самостоятельные гнездообразные скопления размером в несколько десятков сантиметров в поперечнике, однако такие скопления часто состоят из клиновидных кристаллов мусковита ельчатого строения. Пластинчатый мусковит встречается реже и обычно образует одиночные кристаллы или небольшие пачки их, располагающиеся на границах соприкосновения полевого шпата с блоками кварца или среди самих блоков кварца, а также выполняет трещины в пегматоиде.

Форма и структура кристаллов мусковита зависит от условий их формирования. Так, мусковит, приуроченный к контакту кварцевых блоков с полевым шпатом, имеет обычно пластинчатую или клиновидную форму. Мусковит, расположенный среди кварцевых обособлений, большей частью ельчатый или клиновидный, а мусковит, развивающийся по трещинам, пластинчатый и, реже, клиновидный. Пластинчатый мусковит обычно хорошего качества и дает наиболее высокий выход деловой слюды. Цвет кристаллов мусковита от рубинового до коричневого и даже до зеленоватого. Наибольшая концентрация промышленного мусковита наблюдается в пегматитовых телах, приуроченных к антиклинальным структурам, сложенным породами патомской серии.

Происхождение пегматитов пегматоидной структуры, по-видимому, объясняно развитию постмагматических процессов перекристаллизации и метасоматического замещения гранит-пегматитов гранитной и аплитовидной структур. С этими же процессами связано и широкое распространение структур замещения, развивающихся среди пегматоидных пегматитов (биотито-кварц-плагиоклазовый, кварц-мусковитовый и кварцевый замещающие комплексы). Метасоматической переработкой ранее образовавшихся пород объясняется также наличие в пегматитах минералов-метасом: мусковита, биотита, апатита, берилла и др. (Сучков и Таевский, 1948; Таевский, 1949—1958; Сучков, 1958—1961; Соколов, 1960; и др.) *.

* По этому вопросу имеется и другая точка зрения, высказанная вслед за А. Е. Ферсманом, Н. В. Петровской, П. Н. Марковым, М. А. Завалишиным

По отношению к складчатости пегматиты, как и гранит-пегматиты, являются позднеорогенными и в некоторых случаях посторогенными образованиями (Великославинский и др., 1957; Таевский и др., 1959). Нижняя возрастная граница II фазы комплекса устанавливается на основании прорываания ими верхнепротерозойских образований патомской серии и гнейсо-гранитов I фазы, а также их близкой генетической связи с последними. Верхняя возрастная граница определяется прорыванием гранит-пегматитов и пегматитов нижнепалеозойскими гранит-порфирами качойского интрузивного комплекса.

О петрохимическом составе пегматитов II фазы комплекса можно судить по анализам 25—33 (табл. 5). Все структурные разновидности пегматитов характеризуются как породы, пересыщенные алюминием и кремнекислотой, богатые и умеренно богатые щелочами (исключение составляет анал. 28, пятая группа по А. Н. Заваринскому). Цветные компоненты в них не превышают 10% объема породы (в атомных количествах).

НИЖНЕПАЛЕОЗОЙСКИЕ ИНТРУЗИИ

КАЧОЙСКИЙ ИНТРУЗИВНЫЙ КОМПЛЕКС ($\gamma\text{л} \text{Ст}, \text{к} \text{с}$)

К этому комплексу относятся гранит-порфирь, слагающие несколько штокообразных и линзообразных тел в верховых р. Ковакты. Площадь выхода наибольее крупного по величине тела не превышает 3 км². Около тел гранит-порфиров наблюдаются единичные дайки этих же пород, мощностью от 3—4 до 40—50 м (Варзалов и др., 1962, 1963; Шаров, 1963). Породы комплекса залегают среди метаморфических образований сагдиндонской свиты, являются секущими по отношению к гранитоидам мамско-оринского плутонического комплекса и аналогичны породам, которые в бассейне р. Качо (система р. Мамакана) прорывают отложения кембрийского возраста и подвержены kontaktовому воздействию со стороны мамаканской интрузии (Салоп, 1954).

Контактовые воздействия гранит-порфиров на вмещающие породы незначительные. Они заключаются в новообразованиях серпентита и пирита.

Гранит-порфирь представляет плотные мелко-зернистые порфировые породы массивной текстуры. Цвет их светло-серый с зеленоватым, желтоватым или розоватым оттенком. Структура основной массы аллотриоморфнозернистая, реже микрогоанитовая. Минеральный состав основной массы пород определяется наличием альбит-олигоклаза (№ 13—15) 50—60%, калиевого полевого шпата (10—15%), кварца (20%), биотита, роговой обманки, хлорита, мусковита, эпидота, циркона, серпентита и соссюрита. Порфировые выделения занимают от 20—25 до 40—50% объема породы и образованы альбит-олигоклазом, в меньшей мере микролином и кварцем.

Химический состав гранит-порфиров качойского комплекса приведен ниже (табл. 6).

Анализируемый гранит-порфир, по классификации А. Н. Заваринского, относится к классу пород, пересыщенных кремнекислотой, группе богатых щелочами. По малой величине параметра a/c можно сказать, что порода имеет существенно лейкократовый облик, величина параметра $a/c = 14,3$ указывает

на кислый состав плагиоклазов, а $n=61,8$ — на то, что порода содержит незначительное количество калиевых полевых шпатов. Отношение железа к магнию $J^1 : m^1 = 52,4 : 23,8$ говорит о низкотемпературном образовании породы.

Дайки. Сюда отнесены дайковые образования, возраст которых в районе не установлен.

Диабазы (вш) слагают маломощные дайковые тела, часто тяготеющие к контактам гранитоидов первой и второй фазы чуйско-кодарского комплекса. Их мощность колеблется от нескольких десятков метров до нескольких сантиметров. Простирание даек разнообразное, но преобладают северо-восточные

(до 1957 г.) и др., которая отражает представление о происхождении мамских слюдоносных пегматитов за счет последовательной кристаллизации пегматитового расплава.

Таблица 5

Структурная разновидность	Номер анализа	SiO ₂	TiO ₂	Al ₂ O ₃	Fe ₂ O ₃	FeO	MnO	MgO	CaO	Na ₂ O	K ₂ O	P ₂ O ₅	H ₂ O	П. п. п.
Гранитная	25	73,2	0,16	15,73	1,13	0,71	1,02	0,90	3,64	3,26	—	0,22	0,68	
	26	76,85	0,05	13,96	0,14	0,08	0,27	1,50	2,70	2,95	—	0,06	0,74	
Аплитовая	27	68,61	0,14	18,93	0,78	—	0,14	1,72	2,49	—	0,20	0,30		
	28	71,56	0,1	17,48	0,39	0,62	0,01	—	2,71	4,67	1,30	—	0,08	0,87
Графическая	29	69,79	—	17,27	0,08	—	0,03	0,07	0,65	9,92	—	—	0,24	
	30	73,50	0,001	15,12	0,35	0,48	0,112	0,08	1,43	4,04	2,56	—	—	
Анографическая	31	73,12	0,08	16,27	0,33	—	0,09	0,10	1,56	2,50	5,90	0,01	—	0,30
	32	71,80	0,19	16,14	1,20	0,26	0,108	0,24	1,08	1,17	4,85	0,02	1,02	1,40
Пегматондная (блоковая)	33	68,3	—	16,47	0,24	1,05	0,12	0,12	0,75	3,0	8,7	0,03	0,07	0,30

Пересчет по А. Н. Заварницкому

Номер анализа	<i>s</i>	<i>a</i>	<i>b</i>	<i>c</i>	<i>Q</i>	<i>a</i>		<i>m'</i>	<i>f'</i>	<i>n</i>	<i>φ</i>	<i>t</i>
						<i>c</i>	<i>c</i>					
25	78,18	11,97	8,83	1,02	31,4	11,7	64,5	18,10	17,4	63,1	10,1	—
26	83,4	9,8	4,95	1,75	45,4	5,6	89,4	7,9	2,6	58,2	1,3	—
27	76,47	11,7	7,82	2,0	23,5	6,8	90,0	3,4	6,83	39,5	6,8	—
28	79,36	11,25	5,52	3,19	33,7	3,53	83,1	—	16,87	84,3	7,2	0,08
29	77,41	15,39	7,07	0,133	23,9	115,7	98,1	0,94	0,94	9,09	0,94	—
30	80,37	12,2	3,15	1,64	37,1	7,4	76,9	3,84	19,23	70,4	3,8	—
31	78,9	13,3	5,9	1,87	29,3	7,1	92,4	3,2	4,3	38,8	4,3	—
32	78,9	9,2	10,4	1,3	38,1	7,0	85,5	3,7	10,7	26,4	8,8	0,08
33	77,5	19,1	2,45	0,95	15,9	20,0	41,6	8,3	50,0	34,3	8,3	—

При мечани с: 25 — пегматит, коллекция Ю. К. Варзалова, 1963 г., ИГУ; 27 — пегматит, обр. 29/65а, коллекция Ю. М. Соколова, 1956 г., ГЛАГЕД АН СССР (жилы № 15, рудник Чуй); 28 — пегматит, обр. 12226, коллекция П. Н. Сучкова, 1956 г., ВИМС (жила № 26, рудник Чуй); 30 — пегматит, обр. 26/26, коллекция В. П. Васильев (жила № 54, рудник Чуй); 31 — пегматит, обр. 2282/715, коллекция Ю. К. Варзалова, 1961 г., ИГУ (жила № 15, рудник Чуй); 32 — пегматит, обр. 6100/1715, коллекция Ю. К. Варзалова, 1961 г., ИГУ (верховые Ковакты). Аналитик Р. Н. Русина, лаборатория ИГУ.

Таблица 6

SiO ₂	TiO ₂	Al ₂ O ₃	Fe ₂ O ₃	FeO	MnO	MgO	CaO	Na ₂ O	K ₂ O	P ₂ O ₅	H ₂ O	П. п. п.
69,05	0,17	15,02	1,02	1,52	0,04	0,59	1,92	4,90	4,60	0,03	0,06	0,58

Пересчет по А. Н. Заварницкому

<i>s</i>	<i>a</i>	<i>b</i>	<i>c</i>	<i>Q</i>	<i>a</i>	<i>c'</i>	<i>m'</i>	<i>f'</i>	<i>n</i>
77,4	17,2	4,2	1,2	19,2	14,3	23,8	23,8	52,4	61,8

Примечание: гранит-порфир (верховые р. Ковакты), обр. 3085, коллекция Ю. К. Варзалова. Аналитик Б. Э. Буковская, лаборатория МГУ.

направления. Контакты диабазов с вмещающими породами резкие, рвущие. В контакте с гранитами они обогащаются кварцем. Граниты же, в свою очередь, на контакте эпидотизированы и хлоритизированы. Структура пород диабазовая, офитовая и бластоофитовая. В некоторых случаях диабазы настолько изменены, что от первичного состава и структуры пород сохраняются лишь отдельные реликты: образуются породы типа метадиабазов.

Минеральный состав диабазов сравнительно однообразен и представлен плагиоклазом (60—65%), пироксеном (30—35%) и рудным минералом (3—5%).

ТЕКТОНИКА

Территория листа О-49-ХХII находится на стыке двух структурно-фациальных зон — Байкало-Витимского поднятия и Приленской зоны краевого прогиба (Салоп, 1960). Основными элементами, определяющими в настоящее время структурный план района, являются две крупные многоярусные структуры: Чуйский антиклиниорий и Мамский синклиниорий. Эти структуры являются сопряженными, были заложены в среднепротерозойское время и имеют единий северо-восточный план тектонического строения (рис. 1).

ЧУЙСКИЙ АНТИКЛИНОРИЙ

В пределах изученной площади на дневную поверхность выходят незначительные части его свода и крыльев. В строении юго-восточного крыла принимают участие эфузивно-терригенные образования верхней подсерии муйской серии, терригенные — тектогринской серии и терригенно-карбонатные отложения патомской серии. В неразрывной связи с образованиями муйской серии находятся синорогенные с ней гранитоиды угольканского плутонического комплекса, образующие согласные тела небольшого размера, сопровождающиеся обширными полями мигматитов. Неотделимыми от образований подсерии патомской серии являются синорогенные с ней гранитоиды мамско-оронского комплекса. И те и другие совместно с вмещающими толщами участвуют в осложняющей антиклиниорий складчатости второго и последующих порядков. Простижение пород, слагающих это крыло антиклиниория, северо-восточное 50—60°, с падением на юго-восток под углом от 20 до 40°. Сводовая часть чуйского антиклиниория, а также часть северо-западного его крыла сложены гранитоидами чуйско-кодарского интрузивного комплекса. Эти гранитоиды образуют крупный pluton, вытянутый согласно общей структуре и

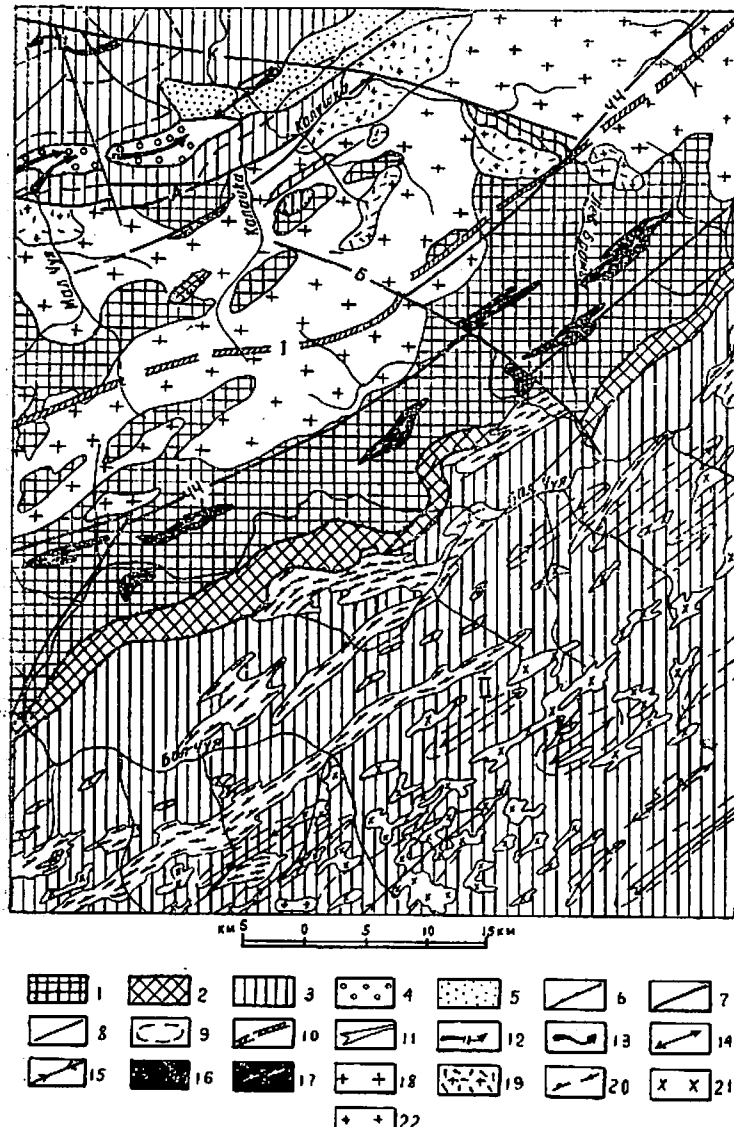


Рис. 1. Тектоническая схема м-б 1 : 500 000. (Составил Ю. К. Варзалов)

1 — нижнепротерозойский структурный ярус; 2 — среднепротерозойский структурный ярус; 3 — верхнепротерозойский структурный ярус; 4 — палеозойский структурный ярус; I — Чуйский антиклиниорий (I), Мамский синклиниорий (II), Приленская зона (Байкало-Патомский краевой прогиб (III), Бурковская антиклиналь (a), Калайская синклиналь (b); 5 — кайнозойский структурный ярус; 6 — границы структурных ярусов; 7 — главнейшие разрывы; 8 — разрывы второстепенные; 9 — контуры складчатых структур; 10 — ось Чуйского антиклиниория; 11 — ось Мамского синклиниория; 12 — ось Бурковской антиклинали; 13 — ось Калайской синклинали; 14 — оси антиклинальных складок в породах патомской серии; 15 — оси синклинальных складок в породах патомской серии; 16 — габбройды каларского комплекса; 17 — гранитоиды угольканского комплекса; 18 — гранитоиды чуйско-кодарского комплекса; 19 — гранитоиды ирельского комплекса; 20 — гранитоиды первой фазы мамско-оронского комплекса; 21 — пегматиты и гранит-пегматиты второй фазы мамско-оронского комплекса; 22 — гранитоиды качко-кодарского комплекса: Калайский разлом (К), Чай-Чуйский разлом (44), Александровский разлом (A), Брамянский разлом (Б).

имеющий крутые контакты с вмещающими породами муйской серии. Эрозия plutона еще не зашла достаточно глубоко и скиалиты пород вмещающей рамы подчеркивают неровности строения его поверхности.

МАМСКИЙ СИНКЛИНОРИЙ

Мамский синклиниорий * имеет резко асимметричное строение, обусловленное пологим залеганием пород в его северо-западном крыле и очень крутым (70 — 85°) в юго-восточном. В строении последнего принимают участие слабометаморфизованные отложения патомской серии, коррелирующиеся с отложениями северо-западного крыла. Характер дислокаций и форм складок в этом крыле существенно отличается от таковых же в северо-западном крыле синклиниория. Осевая часть синклиниория выполнена терригенными осадками джемкуанской свиты патомской серии, степень метаморфизма которых постепенно увеличивается в сторону северо-западного крыла. Вследствие резкой асимметрии крыльев, осевая линия Мамского синклиниория смещена к юго-востоку и проходит через вершины рек Сунурканы и Куняево; шарнир структуры, незначительно ундулируя, погружается в северо-восточном направлении.

Чуйский антиклиниорий и Мамский синклиниорий пережили продолжительную историю формирования и являются сложными многоярусными структурами. Выделяются четыре яруса: нижне-, средне-, верхнепротерозойский, нижнепалеозойский и кайнозойский.

Нижнепротерозойский структурный ярус. В самом начале протерозоя рассматриваемый район являлся частью Чуйско-Патомской зоны обширного внешнего пояса байкалид (Салоп, 1960). В его пределах происходило накопление мощной эфузивно-терригенных толщи. С течением времени эта толща дислоцируется, метаморфизуется, участками происходит ее гранитизация и анатексис с образованием гранитоидов угольканского комплекса, принимающих участие в складчатости.

Для данного яруса характерно развитие складчатости линейного типа второго и последующих порядков. Шарниры складок имеют выдержанную северо-восточную 50 — 60° ориентировку и лишь изредка испытывают изменения в направлении до субширотной. По своей форме складки являются опрокинутыми или изоклинальными. Господствующее падение осевых поверхностей складок в юго-восточном крыле Чуйского антиклиниория юго-восточное. Углы падения слоев на крыльях складок варьируют от 40 до 85° с преобладанием крутых падений. С тектоническими движениями, завершающими раннепротерозойский этап складчатости, сопряжено образование гранитоидов чуйско-кодарского комплекса, размещение которых, очевидно, контролировалось глубинными разломами северо-восточного направления. Указанный комплекс внедрился в три последовательные фазы. Отголоски этого тектогенеза в самом конце нижнего протерозоя привели к возникновению разрывных нарушений северо-западного направления, которые, как и наиболее ослабленные зоны вдоль контактов гранитоидов различных фаз чуйско-кодарского комплекса, послужили путями проникновения более поздней магмы.

Среднепротерозойский структурный ярус. К началу среднего протерозоя произошла заметная перестройка структурного плана байкалид. Тектонические движения, возникшие в среднепротерозойское время, обусловили поднятие Чуйского антиклиниория и сравнительно незначительное углубление Мамского синклиниория и Байкало-Патомского краевого прогиба.

Отложению тепторгинской серии предшествуют внедрения гранитоидов ирельского комплекса (послехиленское время) ** и длительный перерыв

* Поскольку Чуйский антиклиниорий и Мамский синклиниорий являются структурами сопряженными, северо-западное крыло последнего охарактеризовано при описании Чуйского антиклиниория.

** Нигде в нагорье не установлены факты прорывания образований тепторгинской серии гранитоидами ирельского комплекса. В бассейне р. Чай (лист О-49-ХХI) они прорывают образования хибленской свиты (Ревякин и др., 1961).

в осадконакоплении с образованием мощных кор химического выветривания. Это подтверждается присутствием в разрезе тепторгинской серии значительных толщ кварцитов, кварцевых мелкогалечных конгломератов и высокоглиноzemистых пород.

Среднепротерозойский структурный ярус, унаследующий в целом структурный план нижнепротерозойского структурного яруса, выделяется нами на основании углового и азимутального несогласия между осадками тепторгинской серии и эфузивно-терригенными образованиями мусковой серии.

Наблюдается также и резкое отличие в деталях характера складчатости этих толщ. Для пород описываемого яруса характерно пологое ($10-30^\circ$) моноклинальное залегание, на фоне которого интенсивно развита сравнительно мелкая поперечная складчатость пластического волочения. Складки опрокинутые, изоклинальные, лежачие. Осевые поверхности этих складок обычно ориентированы в северо-западном направлении и падают на северо-восток под различными углами. Углы падения пород на крыльях также весьма различны (от 10 до 75°).

Верхнепротерозойский структурный ярус представлен сложнодислоцированными терригенными и карбонатно-терригенными отложениями патомской серии, накопившимися в Мамско-Бодайбинском внутреннем прогибе, и терригенно-карбонатными осадками в Байкало-Патомском краевом прогибе.

Мамско-Бодайбинский внутренний прогиб, зародившийся в среднем протерозое, в верхнепротерозойское время испытывал все большее опускание*. Претерпевая складчатость, он консолидируется в Мамский синклиниорий. В пределах синклиниория верхнепротерозойский структурный ярус характеризуется складчатостью линейного типа, сложность которой постепенно увеличивается по мере перехода к более высоким горизонтам патомской серии. Отложения витимской свиты залегают довольно спокойно и собраны в складки линейного типа. Последние в незначительной степени осложнены складками более высоких порядков. Осевые поверхности складок наклонены в юго-восточном направлении, падение пород на крыльях складок также юго-восточное под углами $25-40^\circ$. Длина полуволни складок варьирует в пределах $0,5-0,8$ км. К юго-востоку структуры усложняются и в полосе распространения слюдянинской и согдиндонской свит, наряду со складками симметричной, асимметричной, опрокинутой и изоклинальной форм, появляются складки типа брахисинклиналей и брахиантинклиналей. Последние являются вместилищем большинства месторождений мусковита в Мамско-Чуйском районе. Ширина замковой части таких складок колеблется от 2 до 4 км, углы падения на крыльях достигают крутизны 55° . Размеры складок весьма различны и зависят от их порядка; формы складок также разнообразны.

Иной тип складчатости развит в приосевой части северо-западного крыла синклиниория, в его замковой части и в юго-восточном крыле. В приосевой части северо-западного крыла развиты узкие линейные синклинальные складки второго порядка, мульды которых сложены кристаллическими известняками марининской свиты. Форма складок симметричная, реже асимметрична с крутыми падениями пород на крыльях под углами $50-70^\circ$. Размах крыльев этих синклиналей колеблется от $0,5$ до 2 км. В юго-восточном крыле складки узкие, поджатые, с преобладающим изоклинальным падением на северо-запад. Углы падения пород на крыльях складок очень крутые (до 85°); весьма часто пласти стоят почти на «головах». Поджатость складок замковой части и юго-восточного крыла объясняется динамическими напряжениями, возникшими при внедрении огромных масс гранитондов конкудеро-мамаканского интрузивного комплекса (Таевский и др., 1959).

* Не исключено, что осадконакопление в пределах указанной зоны продолжалось еще и в начале нижнего палеозоя (Великославинский и др., 1961) и в каледонское время могла проявиться единая для верхнего протерозоя и нижнего палеозоя складчатость линейного типа (Варзалов и др., 1962).

В строении верхнепротерозойского структурного яруса принимают участие и гранитоиды мамско-оронского плутонического комплекса. Гранитоиды первой фазы комплекса образуют вытянутые тела, которые по характеру своего геологического положения гармоничны и синорогены с вмещающими породами. Гранит-пегматиты и пегматиты наблюдаются в виде многочисленных согласных с вмещающими породами или секущих тел разнообразной формы. Образование указанных пород произошло в заключительные этапы верхнепротерозойского тектоно-магматического цикла.

Полное отсутствие вулканогенного материала в мощной толще отложений, развитой в пределах Мамско-Бодайбинского внутреннего прогиба, указывает на многоеосинклинальный режим развития Мамского синклиниория.

Несколько иначе развивается Байкало-Патомский краевой прогиб. Также как и вышеописанный — внутренний, он сохраняет в верхнепротерозойское время черты многоеосинклинали. Однако глубина его менее значительна — отложения слюдянинского, согдиндонского, конкудерского и марининского времени или размыты нацело, или имели тенденцию к генетическому выклиниванию, полностью отсутствуют какие-либо магматические комплексы. В пределах территории листа верхне-протерозойский этап развития ознаменовался, видимо, складчатыми дислокациями и на размытую поверхность отложений верхнего протерозоя налегают жербинские кварциты, кварцito-песчаники и гравелиты. Этот этап развития характеризуется наличием складчатости линейного типа, запрокинутой в сторону платформы. Здесь четко картируются две структуры.

Калайская синклиналь представляет собой линейную складку, прослеживающуюся в северо-восточном направлении из бассейна р. Мал. Чунь в бассейн р. Канушки. В строении крыльев синклинали принимают участие терригенно-карбонатные отложения баракунской и валюхтинской объединенных, жуинской и ченчинской свит; ядро синклинали сложено отложениями жербинской свиты нижнего кембрия. Падение пород в северо-западном крыле синклинали юго-восточное под углами от 15 до 25° . Породы юго-восточного крыла запрокинуты и имеют юго-восточное падение под углами $30-55^\circ$. На правобережье рек Мал. Чунь и Канушки наблюдаются отчетливые центриклинальные замыкания синклинали, подчеркивающиеся изменением простирации и падения горизонтов ченчинской свиты. Размах крыльев синклинали составляет $6-7$ км. В бассейне р. Мал. Чунь наблюдается усложнение синклинали складками второго порядка (по отношению к синклинали). Размах крыльев этих складок достигает $1,5$ км.

Бурковская антиклиналь. Ядро антиклинали сложено конгломератами джемкуканской свиты; крылья — отложениями баракунской и валюхтинской свит. Падение пород в пределах южного крыла складки колеблется в пределах $20-25^\circ$.

Палеозойский структурный ярус. В результате заполнения Байкало-Патомского краевого прогиба осадками средней подсерии патомской серии и прекращения дальнейшего погружения бассейна в предкембрийское время, очевидно, наступает крупная пауза в осадконакоплении или незначительное накопление осадков верхней (бодайбинской) подсерии с последующим их размывом. Появление в нормальном разрезе, вслед за известняками ченчинской свиты, глауконитовых песчаников и гравелитов жербинской свиты свидетельствует о резком изменении условий образования последних в алданский век и наличии перерыва между толщами.

Формирование структур нижнего палеозоя на территории листа относится ко времени затухания геосинклинального режима. Несмотря на перерыв в осадконакоплении между кембriем и докембriем, складчатые структуры палеозойского структурного яруса полностью унаследуют структурный план верхнего комплекса протерозоя. Однако за пределами исследованной площади (лист О-49-XVII, лист О-49-XII) для нижнепалеозойских структур характерно простое строение складок, а также отсутствие изоклинальных, опрокинутых и лежачих складок, присущих структурам докембriя.

Кайнозойский структурный ярус. Отложения этого яруса с большим перерывом залегают на размытой поверхности древних комплексов.

Он представляет собой тяготеющую к зоне разлома, заполненную рыхлыми отложениями, межгорную впадину, развивающуюся на фоне северо-западного фланга общего водового поднятия Байкало-Патомского нагорья.

Разрывные нарушения. Наиболее широко развиты разрывные нарушения северо-восточного простирания, заложившиеся во время нижнепротерозойской складчатости (Чая-Чуйский и Алеканский) и имеющие региональный характер. Эти нарушения являются разломами глубинного заложения и контролируют размещение гранитондов чуйско-кодарского интрузивного комплекса. Во время последующих тектонических движений указанные разрывные нарушения неоднократно подновляются. Гранитонды чуйско-кодарского комплекса испытывают динамические нагрузки и в силу своей неспособности к пластической деформации отвечают на них образованием обширных зон милонитизации и катаракзы.

Более молодыми по отношению к разрывным нарушениям северо-восточного направления являются разломы северо-западного простирания — Калай-катаракзы и многочисленными опережающими нарушениями. К участкам сопряжения северо-западных и северо-восточных разломов приурочено внедрение гранитондов ирельского комплекса. По разрывным нарушениям северо-западного направления происходит смещение более древних (северо-восточных) и опускание Брамынского и Чая-Калайского блоков. С ними же связано и формирование отдельных участков долин р. Канушки, Калайки и Брамы.

Кроме указанных крупных разрывных нарушений, фиксируются небольшие нарушения типа межпластовых подвижек, зонок дробления и срывов в породах патомской серии.

Выявление разрывных нарушений (особенно в однородных толщах пород) весьма способствовали результаты аэрофизических работ (Никилин, 1962). Все разрывные нарушения хорошо фиксируются на графиках «ДТ» своей повышенной магнитной восприимчивостью. Наиболее отчетливые положительные аномалии значений «ДТ» приурочены к региональным разломам (Брамынскому, Чая-Чуйскому и др.).

ГЕОМОРФОЛОГИЯ

Различная интенсивность тектонических движений в мезо-кайнозойское время двух структурно-фацальных зон — Байкало-Витимского водового поднятия и Приленской зоны краевого прогиба — привела к созданию ряда крупных геоморфологических областей и районов (Северо-Байкальского нагорья, переходной зоны от нагорья к Приленской плоской возвышенности, Чая-Чуйской депрессии и др.). Границы их в большинстве случаев проходят по линиям региональных разломов — Алеканского, Чая-Чуйского и др. Господствующим рельефом описываемой территории является среднегорный рельеф, характеризующийся многообразием типов и форм, связанных с различиями литологии субстрата и роли экзогенных факторов.

Эрозионно-денудационный и ледниковый рельеф. В пределах изученной территории выделяется рельеф трех эрозионно-денудационных циклов, заканчивающихся обычно оледенениями.

Рельеф I цикла сохранился в виде отдельных участков на водораздельных пространствах рек Мамы, Бол. Чунь, Канушки и Мал. Чунь. Его субстратом являются гранитонды и устойчивые к воздействию экзогенных факторов эфузивно-терригенные образования. По ведущим рельефообразующим процессам в нем можно выделить:

1. Среднегорный гольцовский рельеф, осложненный большим количеством ледниковых, мерзлотных и структурно-денудационных форм (карьи, троги, изогорные террасы, структурно-денудационные уступы и др.). Некоторые водоразделы венчаются плоскими вершинами, представляющими собой результат длительной морозной планации.

2. Среднегорный гольцовский рельеф, характеризующийся дряхлостью форм: пологими формами склонов и широкими заболоченными участками сквозных долин, продольные профили которых близки к состоянию (профили

равновесия». Относительные превышения водоразделов над днищами долин: 150—200 м, абсолютные высоты водоразделов 700—1350 м.

Первое оледенение заканчивает собой первый цикл формирования рельефа. Это оледенение можно причислить к норвежскому типу или маломощному покровному с основными центрами оледенения в центральной части Северо-Байкальского нагорья. Моренные отложения его сильно размыты и сохранились на водоразделе Мал. Чунь и Канушки. Крупнообломочный материал отложений представлен чуйско-кодарскими, ирельскими и другими гранитондами и гнейсами мамской кристаллической полосы.

По своему гипсометрическому и геоморфологическому положению рельеф I эрозионно-денудационного цикла и первое оледенение сопоставимы с нижним древним денудационным уровнем и Жунинским оледенением в Патомском нагорье (Синюгина, 1960; Золотарев, 1961).

Рельеф II цикла в сравнении с первым занимает более низкое гипсометрическое положение и охватывает весь район, за исключением участков «древнего рельефа». В истории формирования рельефа этого цикла А. Г. Золотарев (1961) выделяет два этапа.

Первый этап II цикла начался с интенсивного врезания рек и формирования глубоких и узких долин, сменившихся вторым оледенением, совпадающим во времени с Накатаминским Патомским нагорьем. Судя по величине созданных им экзарационных форм рельефа, это было самое максимальное оледенение. Аккумулятивных форм его в описываемом районе не сохранилось.

Второй этап II цикла развивается после абляции ледников второго оледенения в период относительного тектонического покоя. В это время происходит выполаживание продольных профилей русел рек, созданных в первый этап, и расширение — поперечных. Формируются широкие трапециевидные, параболические и корытообразные долины, четвертая (60—80 м) и пятая (100—150 м) террасы. Фрагменты их известны в долинах рек Большой, Малой Чунь, Канушки и Брамы. Водораздельный рельеф, сформированный вторым эрозионно-денудационным циклом, занимает доминирующее положение по сравнению с рельефом сформированным другими циклами. Он сложен многочисленными более поздними мезо- и микроформами ледникового, тектонического, структурно-денудационного и карстового происхождения.

Третье оледенение заканчивает собой историю формирования рельефа второго цикла. Оно, как и предыдущее, было долинно-карового типа, но значительно меньших масштабов. Из экзарационных форм его сохранились троговые долины рек Ильгидяка, Тукулаха, Тыкши, Мал. Чунь и Прав. Брамы, и также полуразрушенные кары на водоразделах Большой, Мал. Чунь, Брамы и Канушки. Аккумулятивный рельеф третьего оледенения представлен валами конечных морен и холмистым ландшафтом основной морены (долины рек Большой и Малой Чунь, Прав. Брамы, Калайки и Тукулаха), выровненными участками флювиогляциального происхождения на междуречье Мал. Чунь, Калайки и Канушки и озерно-холмистым ландшафтом инверсионного происхождения в долинах рек Ильгидяка и Тукулаха.

Третье оледенение сопоставимо с Патомским Ленским золотоносным районом и Зырянским — Средней Сибири.

Рельеф III цикла представлен в крупных долинах поймой (до 3 м) и комплексом надпойменных террас: первой (4—9 м), второй (9—13 м), третьей (18—25 м), а по притокам — узкими каньонообразными долинами. Для долинного рельефа третьего цикла характерны глубокое вертикальное расчленение, большие относительные высоты и «высокая» энергия рек. Начало эрозионного вреза в широкие, параболического профиля, речные долины предыдущего цикла является его границей. Пойменные террасы голоценового возраста.

В период формирования II и I надпойменной террас в Северо-Байкальском нагорье имело место четвертое оледенение долинно-карового типа. Для него характерны хорошо сохранившиеся кары и маломощные морены фирновых ледников, почти не выходящие за пределы каров. Вынесенный материал имеет очень слабую механическую обработку и совершенно не отсортирован.

Карстовый рельеф в районе не пользуется широким распространением, так как выщелачиванию карбоната на глубину препятствует многолетняя мерзлота. Образующиеся блюдообразные воронки имеют диаметр 10–15 м и глубину 2–2,5 м. Наибольшее распространение они получили на междуречье Мал. Чуи и Канушки.

К структурно-денудационному рельефу относятся гребнеобразные скальные выходы пегматитов, гранит-пегматитов, кварцитов и дистенодержащих сланцев. Протяженность их 3–4 км, а отн. высота 10–20 м. Роль неустойчивых пород выполняют карбонаты, крупночешуйчатые гнейсы и углистые сланцы. Наибольшее развитие они получили в междуречье Мамы и Бол. Чуи.

Мерзлотный рельеф выражен асимметрией склонов, речных долин, образованием курумов, «каменных морей», нагорных террас и гидролакколитов. На образование их оказало основное влияние морозное выветривание и многолетняя мерзлота.

ПОЛЕЗНЫЕ ИСКОПАЕМЫЕ

Территория листа входит в состав крупнейшей в стране Мамской слюдиноносной провинции, являющейся основным поставщиком слюды — мусковита (75–80% общей союзной добычи мусковита). Мусковит до сих пор является главным полезным ископаемым, определяющим экономику района. В последние годы, помимо узко специализированных работ, направленных на выявление слюдяных месторождений района, проводятся исследования и на другие виды минерального сырья. Кроме месторождений мусковита на площади листа имеются проявления алюминия, талька, ореолы рассеяния фергюсонита, иттрия, иттербия и других полезных ископаемых.

МЕТАЛЛИЧЕСКИЕ ИСКОПАЕМЫЕ

ЧЕРНЫЕ МЕТАЛЛЫ

Титан. Содержащие титан минералы — ильменит и рутил — в знаковых содержаниях устанавливаются повсеместно шлиховым опробованием. Весовые количества их отмечены авторами в аллювии рек Левой и Правой Брамы, Куняево, Именды, Алокмочака, Ильгидяка и Тукулаха. Содержание ильменита в отдельных пробах достигает 500 г/м³, рутила — до 100 г/м³. Единичные пробы из аллювия рек Куняево и Именды показывают содержание ильменита до 5,6 кг/м³, рутила до 438 г/м³. Генетически оба минерала связаны с метаморфическими породами патомской серии и их россыпи, по-видимому, промышленного интереса не представляют.

ЦВЕТНЫЕ МЕТАЛЛЫ

Алюминий. Среди отложений чукчинской свиты установлен горизонт высокоглиноземистых ставролито-гранато-диистено-двуслюдянных сланцев (14), являющийся непосредственным продолжением пород, выделенных и опробованных В. М. Таевским в 1959 г. на смежном с востока листе. Этот горизонт является маркирующим и прослеживается с листа О-49-ХХIII в юго-западном направлении через бассейны рек Брамы, Пурикана и Мочикита. Максимальная мощность горизонта 110 м. Содержание Al₂O₃ в породах достигает 36,01%, SiO₂ 41,92% *.

* Авторы не имеют результатов опробования по территории листа и поэтому пользуются данными В. М. Таевского, опробовавшего породы горизонта на глинозем в бассейне р. Бол. Уголькана (Таевский и др., 1960).

БЛАГОРОДНЫЕ МЕТАЛЛЫ

Золото. По результатам шлихового опробования редкие знаки золота обнаружены в аллювиальных отложениях рек Мал. Чуи, Канушки, Прав. Брамы, Ковакты, Тукулаха и Куняево. Золотинки обычно хорошо окатаны и имеют лепешкообразную форму, изредка по краям кородированы. Имеют значение как поисковый признак.

РЕДКИЕ МЕТАЛЛЫ

Тантал, ниобий. В речных отложениях рек Ильгидяка, Ковакты и Именды шлиховым опробованием установлено присутствие фергюсонита в знаковых содержаниях (ореолы рассеяния 23, 24, 26). Кристаллы плохо окатаны и имеют призматическую форму; цвет их бурый или темно-бурый. Ореолы рассеяния фергюсонита тяготеют к полям развития гранит-пегматитов и пегматитов мамско-оронского комплекса. Последние содержат его в виде акцессорной примеси.

Редкие земли. Иттрий, иттербий. Механические ореолы рассеяния ксенотитов (5, 10, 11, 12, 16, 17 и 22) устанавливаются в аллювии рек Канушки, Калайки, Мал. Чуи, Петерку, Нерукана, Тыкши, Ковакты и Ильгидяка. Редкие его зерна бипирамидальной формы достигают 1 мм в поперечнике, цвет их зеленовато-желтый, желтовато-зеленый или серый. В бассейнах рр. Прав. Мочикита, Давчакитана и Чуйского Давчакита (ореол рассеяния 19) ксенотит встречается в ассоциации с монацитом. Содержание последнего колеблется от 2 до 30 г/м³.

Геохимические ореолы рассеяния иттрия устанавливаются на водоразделе рек Канушки и Калайки (3) и в бассейнах рр. Лев. Брамы (13), Бол. Чуи и Согдиона (15). В первом содержание иттрия составляет 0,006%; в последних — 0,01%.

В верховых рек Калайки, Канушки, Бол. Сехты и Соболевки по результатам металлометрического опробования установлены ореолы рассеяния иттрия и иттербия (1, 2, 4, 5, 7, 8 и 9). Содержание иттрия в ореоле 0,01%, иттербия — 0,006%. Генетически эти ореолы связаны с гранитоидами чуйско-кодарского комплекса, в аксессорных примесях которых отмечаются торит и ксенотит.

НЕМЕТАЛЛИЧЕСКИЕ ИСКОПАЕМЫЕ

Слюды-мусковит. На территории листа имеются три крупных промышленных месторождения мусковита: Чуйское, Довгакитское и Мочникитское. Они эксплуатируются до настоящего времени.

Чуйское месторождение (18) расположено около поселка Горно-Чуйского и охватывает водораздельные участки Прав. Мочикита и Давчакитана. Месторождение приурочено к полосе развития отложений витимской, слюдянкинской и согдионандской свит, причем в последних двух наблюдается наибольшая концентрация мусковитоносных пегматитовых жил. Пегматитовые жилы линзовидные или четкообразные, с согласными и продольносекущими контактами (размеры их колеблются в широких пределах — длина 10–150 м, мощность 1–40 м). Сложенны они пегматитами пегматоидной или апографической структур. Текстура пегматитов массивная, зональная и участково-зональная. Кристаллы мусковита приурочены большей частью к границам блоков или к кварцевым обособлениям в пегматитах пегматоидной структуры и имеют пластинчатое, ельчатое и полуельчатое строение.

Содержание мусковита-сырца в промышленных жилах колеблется от 5,6 до 80 кг/м³.

В настоящее время на балансе месторождения числится 73 разведанных промышленных жилы, из них в эксплуатации находится 19.

Довгакитское месторождение (20) расположено в бассейне р. Чуйский Давчакит. В геологическом строении месторождения принимают участие метаморфические породы согдионандской и конкудерской свит. Среди них пег-

матиты образуют многочисленные тела неправильной формы и жилы с согласными продольно или диагонально секущими контактами. Размеры жил колеблются до сотен метров в длину, мощность от 2 до 70 м. Промышленное ослаждение связано с пегматитами пегматоидной структуры. Длина зон ослаждения достигает иногда 200 м. Текстура пегматитов участково-зональная, реже массивная. Мусковит приурочен к блоковым обособлениям кварца или к трещинам в блоках и имеет пластинчатое, клиновидное или полуельчатое строение. Содержание мусковита-сырца в промышленных жилах колеблется в пределах 7,1—40,2 кг/м³. На месторождении разведано 84 промышленных жилы, из них в эксплуатации находится 26.

Мочикитское месторождение (25) охватывает верховья р. Прав. Мочикита. Месторождение сложено метаморфическими образованиями согдиондонской свиты, обильно насыщенными пегматитовыми жилами и телами неправильной формы.

В пегматитах пегматоидной структуры широко развит кварц-мусковитовый замещающий комплекс, с которым связана основная часть промышленного мусковита. Участки его имеют разнообразную форму и нередко приурочены к трещинам в пегматитовых телах. Кроме того, мусковит нередко встречается на границах обособлений кварца с блоками полевого шпата. Кристаллы мусковита клиновидные или таблитчатые размером до 20×30×5 см. Содержание его от 8 до 40 кг/м³. На месторождении известно 75 промышленных жил, из них эксплуатируется 22.

Кроме описанных месторождений слюды, на территории листа имеется значительное количество мусковитоносных пегматитовых тел, из которых 28 выявлено авторами в 1961—1963 гг. в бассейнах рек Мочикита, Чуйского Давчакита и Мочикитана, Ильгидяка и Ковакты. Выявленные пегматиты содержат промышленную концентрацию мусковита, пластинчатые кристаллы которого достигают размера 10×15 см при толщине в торце до 3—4 см.

Тальк. Проявление (21) выявлено на левом склоне долины р. Чуйский Давчакит в 20 км от его устья. Оно представлено тремя пластами крупнозернистых флогопито-тальковых сланцев мощностью 0,9, 1,35 и 1,0 м, прослеживающихся более чем на 2 км и имеющих тенденцию к увеличению мощности до 5 м в юго-западном направлении. Сланцы залегают согласно среди среднезернистых графитизированных tremolite-содержащих известняков нижней подсвиты согдиондонской свиты. Простиранье их северное — северо-западное 340—350°, плавно изменяющееся на широтное, а затем на северо-восточное; падение пологое на юго-юго-восток под углом 18—20°. Сланцы в нижней части темно-серые и содержат тонкие линзовидные инъекции кварцевого материала. В средней и верхней частях они белые и флогопит резко выделяется своим коричневым цветом. Состоят сланцы на 90—93% из чешуек талька и на 7—10% из флогопита. В темно-серых разновидностях содержится серый кварц и мелкие чешуйки графита. Спектральным анализом установлено незначительное присутствие хрома (0,003%) и никеля (0,001%); других вредных примесей не обнаружено. Белизна при размоле составляет 76,1%. Коэффициент размола 90%. Флогопитово-тальковые сланцы представляют практический интерес и заслуживают дальнейшего изучения.

Рекомендации по направлению дальнейших поисковых работ на территории листа заключаются в следующем.

1. Высокоглиноземистые ставролито-гранато-дистено-двуслюдянные сланцы (14) чукчинской свиты наиболее благоприятны для поисков алюминиевого сырья и заслуживают проведения детальных поиско-оценочных работ. В будущем, очевидно, будет разработана технология извлечения алюминия из высокоглиноземистых пород, содержащих большое количество кремния. Тогда несомненный интерес представят мощные пачки дистено-слюдянных сланцев патомской серии, которые содержат Al₂O₃ в отдельных пробах в количестве 20—25% и SiO₂ 50—60%.

2. В связи с отсутствием промышленных концентраций иттрия и иттербия ореолы рассеяния (1, 2, 3, 4, 5, 6, 7, 8, 9, 10, 11, 12, 13, 15, 16, 17, 19, 22) следует считать практически малонинтересными. Они, возможно, могут являться поисковыми критериями для обнаружения промышленных концентраций этих

элементов. Это же самое относится и к ореолам рассеяния tantala и инибия (23, 24, 26).

3. Наибольшее количество промышленных мусковитоносных пегматитовых жил сосредоточено в антиклинальных структурах среди пород согдиондонской и слюдянкинской свит патомской серии. Не менее перспективными являются поля гранит-пегматитов, содержащие жилоподобные тела, блоки и линзы пегматита пегматоидной структуры с промышленной концентрацией мусковита. Выявленные авторами 28 мусковитоносных пегматитовых тел (бассейны рек Мочикита, Чуйского Давчакита, Ковакты, Ильгидяка и Тукулаха) содержат промышленную концентрацию мусковита и должны быть квалифицированно опробованы. С целью расширения перспектив слюдоносности рекомендуется детальное изучение площадей, ограниченных контурами потенциальной слюдоносности. Решение этой задачи может быть осуществлено как за счет исследования полосы развития пород витимской и слюдянкинской свит, так и за счет изучения антиклинальных структур, сложенных породами согдиондонской свиты. В наиболее перспективных участках рекомендуются поисковые работы с бурением с целью выявления промышленных слюдоносных пегматитовых тел на глубине.

4. Для окончательного решения вопроса о промышленной ценности тальковых сланцев необходимо провести дополнительные поисково-оценочные работы.

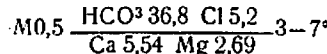
5. При постановке детальных поисковых работ необходимо учесть, что на междуречье Мал. Чун, Канушки и Калайки в отложениях чеччинской свиты установлен горизонт светло-серых афанитовых известняков. Горизонт выдержан по простиранью и имеет довольно постоянную мощность 225—250 м. По химическим свойствам (SiO₂ 0,29%; CaO 47,85%; MoO 1,6%; Al₂O₃ 0,32; п. п. 40,2%) известняки могут быть использованы как сырье для производства гидравлической извести.

Определенный интерес представляют обнаруженные в аллювиальных отложениях р. Канушки единичные знаки киновари, тяготеющие, по всей вероятности, к зоне Калайского разлома.

ПОДЗЕМНЫЕ ВОДЫ

По гидрогеологическому районированию описываемая территория входит в Витимо-Патомскую гидрогеологическую складчатую область, что и определяет общие особенности гидрогеологического режима подземных вод. Питание их в большинстве случаев происходит за счет инфильтрации атмосферных осадков. По условиям залегания в районе могут быть выделены: трещинные, трещинно-жильные, трещинно-карстовые воды, порово-пластовые, включющие грунтовые, и воды, связанные с многолетней мерзлотой.

Трещинные и трещинно-жильные воды в связи с интенсивным развитием разрывных нарушений получили широкое распространение. Они известны во всех ранее охарактеризованных геологических комплексах. При выходах на дневную поверхность эти воды образуют многочисленные мелкие нисходящие источники у подножий склонов долин, реже в их средних и верхних частях. Вода в источниках без цвета, вкуса и запаха (правый склон долины р. Калайки в 7 км от устья). Согласно формуле Курлова, вода гидрокарбонатная:

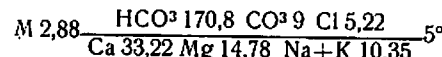


Общая жесткость 0,50, постоянная 0,40.

Трещинно-карстовые воды в районе не получили широкого распространения. Авторами они были встречены на северо-западе исследованной территории в породах баракунской, жуинской и чеччинской свит. В некоторых мелких долинах наблюдается исчезновение поверхностных водотоков (вершина к. Буркова и др.), а появление их вновь на дневную поверхность обусловлено или составом пород, обладающих водоупорными свойствами

(сланцы, кварциты), или зияющими трещинами. Развитие карстовых явлений создает своеобразный микрорельеф (карстовые воронки, котловины) и характер режима некоторых поверхностных и подземных водотоков.

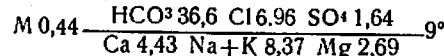
Источник трещинно-карстовых вод исходящего типа отмечен нами на левом склоне р. Канушки, в 6 км ниже устья р. Калайки. Дебит его 20—30 л/секунду. Вода гидрокарбонатно-кальциевая (по Курлову), без цвета, вкуса и запаха:



Общая жесткость 2,88, постоянная 0,98.

Порово-пластовые воды получили широкое распространение лишь в области развития аллювиальных и ледниковых отложений. Водоупором для них обычно служат коренные породы и пропластики глин, а иногда и многолетние мерзлота. Залегание этих вод неглубокое в пределах 2—3 ряже 10—20 м.

Многочисленные холодные источники исходящего типа порово-пластовых вод известны в бассейне р. Канушки. Вода в источниках без цвета, вкуса и запаха. Согласно формуле Курлова, вода гидрокарбонатная (источник на левом склоне р. Канушки, в 0,5 км ниже устья р. Калайки):



Общая и постоянная жесткость одинаковы и равны 0,44.

В наиболее крупных речных долинах, где аллювиальные и ледниковые отложения часто находятся ниже уровня современных водотоков, всегда циркулируют воды, питание которых осуществляется за счет проникновения воды из современных поверхностных водотоков и реже подтекания трещинных вод. Поэтому верхняя граница этих вод и их дебит почти всегда находится в прямой зависимости от уровня современных рек. При замерзании этих вод происходит всучивание грунта, образуются небольшие гидролакколиты (поймы рек Бол. Чуи и Брамы).

Минерализованных источников на изученной территории не обнаружено. Воды описанных источников могут служить для питья.

• ЛИТЕРАТУРА

Опубликованная

Васильева В. П. К вопросу о стратиграфии района Чуйского месторождения мусковита. Тр. Иркутского горно-металлургического института, вып. 14, 1957.

Великославинский Д. А. и др. Геология северо-восточной части Северо-Байкальского нагорья. Лаб. геологии докембрия АН СССР. Изд. АН СССР, 1957.

Великославинский Д. А. Магматические и метаморфические формации Северо-Байкальского нагорья. Петрография Восточной Сибири. Том II. Изд. АН СССР, 1962.

Головенок В. К. К стратиграфии северо-восточной окраины Патомского нагорья. Вестник Ленинградского госуниверситета № 24, выпуск 4, 1957.

Другов С. И. Стратиграфия докембрия Байкало-Патомского нагорья. Тр. межведомственного совещания по разработке унифицированных схем Сибири 1956. Изд. АН СССР, 1958.

Завалишин М. А., Львова Н. А. Стратиграфия и геологическое строение северо-восточной части Мамского района. Тр. «Гипронинислюда», вып. I. Промстройиздат, 1954.

Золотарев А. Г. Геоморфология и геология четвертичных отложений северной части Северо-Байкальского нагорья. Мат-лы по геол. и полезным ископ. Иркутской обл. Выпуск I (XXVIII), Иркутск, 1961.

Салоп Л. И. Нижний палеозой Средне-Витимской горной страны. Тр. ВСЕГЕИ, госгеолтехиздат, 1954.

Салоп Л. И. Основные черты геологии и металлогенеза Олекмо-Витимской горной страны. Тр. первого совещания по металлогенезу Западного Забайкалья. Иркутск, ВСФ, АН СССР, 1958.

Салоп Л. И. О возрасте последней геосинклинальной складчатости в Байкальском нагорье. Докл. АН СССР, т. 118, № 4, 1958.

Салоп Л. И. Магматизм Байкало-Патомского нагорья и Западного Прибайкалья. Магматизм, т. XVII, «Геология СССР», 1962.

Салоп Л. И. Докембрйские и кембрйские отложения Патомского и Северо-Байкальского нагорья. «Стратиграфия», т. XVII, «Геология СССР», 1962.

Семененко Н. П. Геология и петрография Мамской кристаллической полосы. Изд-во АН СССР. Киев, 1948.

Синюгина Е. Я. О четвертичных отложениях в бассейне р. Бодайбо. Тр. ЦНИГРИ, 1960.

Соколов Ю. М. Связь слюдоносности пегматитовых жил Мамского района с региональным метаморфизмом. Некоторые вопросы геологии Азнатской части СССР. Изд-во АН СССР, 1959.

Таевский В. М. Государственная геологическая карта СССР, м-аб 1 : 200 000. Объяснительная записка к листу О-49-ХХIII, 1960.

Таевский В. М. Новые данные о стратиграфии Мамской кристаллической полосы. Мат-лы по геологии и полезным ископаемым Иркутской области, вып. 1 (XXVIII). Иркутск, 1961.

Тихонов В. Л. К стратиграфии Средне-Витимской горной страны. Мат-лы по геологии и полезным ископаемым Восточной Сибири, вып. I, Иркутск, 1957.

Шалек Е. А. Материалы по геологии Северо-Западной части Патомского нагорья, ВСЕГЕИ, 1956.

Фондовая *

Варзалов Ю. К. Геологическое строение бассейна р. Большой Чуи, 1961.

Варзалов Ю. К. Геологическое строение бассейнов рек Большой и Малой Чуи, 1961—1962.

Головенок В. К. Геологическое строение правобережья реки Малой Чуи и низовья р. Большой Чуи. Северо-Байкальская группа, 1957 г., Ленинград, 1957.

Головенок В. К. К стратиграфии и геологическому строению северной части Северо-Байкальского и южно-западной части Патомского нагорья, 1960.

Лобанов М. В. О поисково-съемочных работах м-ба 1 : 200 000, Куйперминской партии, 1962.

Никулин В. И. О результатах работ Чуйской аэрогеофизической партии 30/61, 1962.

Перевалов О. В. Геологическое строение бассейна среднего течения р. Малой Чуи, 1962.

Ревякин Л. В. Геологическое строение бассейна среднего течения р. Чуи, 1961.

Ревякин Л. В. Геологическое строение междуречья рек Чан, Лимпей, Малой Чуи, 1962.

Смирнов М. Ф. Геологический очерк Мамского пегматитового поля, 1936.

Смыков А. Д. О поисково-съемочных работах, м-ба 1 : 25 000 в юго-западной части района Чуйского месторождения мусковита, 1959.

Сульдин В. А. О геологическом строении междуречья Малой и Большой Чуи, 1963.

* Литература хранится в ТГФ ИГУ.

Сучков П. Н., Таевский В. М. Геологическое строение северной части Чуйского слюдоносного района, 1947.

Сучков П. Н. Геология и петрография Чуйского слюдоносного района, м-б 1 : 200 000, 1947.

Сучков П. Н., Таевский В. М. О геолого-поисково-съемочных и геологоразведочных работах Чуйской экспедиции, 1948.

Сучков П. Н. Закономерности строения пегматитов Мамской слюдоносной области, определяющие условия развития пегматоидной слюды, 1958—1961.

Таевский В. М. Геологическое строение левобережья р. Витим, между реками Бол. Чуи и Мамакан и части правобережья р. Витима между бассейнами рек Тахтыга и Бодайбокан, 1959.

Шаров В. Н. Промежуточный отчет о поисково-съемочных работах м-ба 1 : 25 000 в юго-западной части Чуйского месторождения мусковита за 1961 г., 1962.

ПРИЛОЖЕНИЕ 1
СПИСОК МАТЕРИАЛОВ, ИСПОЛЬЗОВАННЫХ ДЛЯ СОСТАВЛЕНИЯ
КАРТЫ ПОЛЕЗНЫХ ИСКОПАЕМЫХ

Номер п.п.	Фамилия и инициалы автора	Название работы	Год со- ставле- ния или изда- ния	Местонахождение материала, его фондовый номер или место издания
1	Таевский В. М. и др.	Объяснительная записка за 1953—1959 гг.	1960	г. Иркутск, фонды ИГУ, 05817
2		Пояснительная записка к сводному балансу запасов слюды-мусковита за 1962 г. по Иркутской области по состоянию на 1. I. 1963 г.	1962	г. Иркутск, фонды ИГУ, 006818
3		Годовой отчет ИГУ по слюде-мусковиту за 1962 г.	1963	г. Иркутск, фонды ИГУ, 006765
4	Варзалов Ю. К. и др	Отчет Чуйской партии по работам 1961 г.	1962	г. Иркутск, фонды ИГУ, 06610
5	Варзалов Ю. К. и др.	Отчет Чуйской партии по работам 1961—1962 гг.	1963	г. Иркутск, фонды ИГУ, 06908

ПРИЛОЖЕНИЕ 2
СПИСОК ПРОМЫШЛЕННЫХ МЕСТОРОЖДЕНИЙ
ПОЛЕЗНЫХ ИСКОПАЕМЫХ, ПОКАЗАННЫХ НА ЛИСТЕ О-49-ХХII
КАРТЫ ПОЛЕЗНЫХ ИСКОПАЕМЫХ МАСШТАБА 1 : 200 000

Номер по карте	Индекс клетки на карте	Наименование месторождения и вид полезного ископаемого	Состояние эксплуатации	Тип месторождения (К—коренное, Р—россыпное)	Номер используемого материала по списку (Приложение 1)
11	III-3,4	Слюдамусковит Чуйское	Не эксплуатируется	К	2, 3, 4, 5
20	III-4	Довчакитское	*	К	2, 3, 4, 5
25	IV-3	Мочикитское	*	К	2, 3, 4, 5

ПРИЛОЖЕНИЕ 3
СПИСОК ПРОЯВЛЕНИЙ ПОЛЕЗНЫХ ИСКОПАЕМЫХ, ПОКАЗАННЫХ НА ЛИСТЕ О-49-ХХII
КАРТЫ ПОЛЕЗНЫХ ИСКОПАЕМЫХ М-БА 1 : 200 000

Номер по карте	Индекс клетки на карте	Название проявления и вид полезного ископаемого	Характеристика проявления	№ используемого материала по списку (прилож. 1)	Примечание
Металлические ископаемые					
14	II-4	Алюминий Право- и левобережье р. Бол. Чуи на отрезке ее течения между реками Соболевой и Тукуклаком	Горизонт ставролито-гранато- диистено- двухслюдяных слан- цев	1, 4, 5	$\text{Al}_2\text{O}_3 - 36,01 \%$: $\text{O}_2 - 41,92 \%$ (данные хи- мического анализа)
23	IV-1	Тантал, ниобий Бассейн р. Ильгидяка	Ореол рассеяния фергюсо- нита в аллювии (редкие знаки)	4,5	По результатам шли- хового опробования
24	IV-2	Бассейн р. Ковакты	Ореол рассеяния, фергюсо- нита в аллювии (редкие знаки)	4,5	По данным шлихово- го опробования
26	IV-4	Верховье р. Именды	Ореол рассеяния фергюсони- та в аллювии (редкие знаки)	4,5	По данным шлихового опробования
3	I-1	Иттрий Водораздел Канушки и Ка- лайки	Ореол рассеяния иттрия (0,006 %, по данным металло- метрического опробования)	4,5	
5	I-1, 2	Устьевая часть р. Калайки	Ореол рассеяния ксенотима (редкие знаки, по данным шли- хового опробования)	4,5	
10	II-1	Верховье р. Мал. Чуи	Ореол рассеяния ксенотима (редкие знаки)	4,5	
11	II-2	Верховье р. Калайки	То же	4,5	
12	II-2	Верховье р. Прав. Брамы	" "	4,5	По данным шлихового опробования
13	II-4	Правобережье р. Лев. Брамы в среднем ее течении	Ореол рассеяния иттрия (0,006 – 0,01 %)	4,5	По данным спектраль- ных анализов
15	II-4	Левобережье р. Бол. Чуи, в 4 км ниже устья р. Согдон- дон	Ореол рассеяния иттрия (0,008 %)	4,5	
16	III-1	Водораздел Петероку и Тык- ши	Ореол рассеяния ксенотима (редкие знаки, по данным шлихового опробования)	4,5	
17	III-2	Бассейн р. Нерукана	Ореол рассеяния ксенотима (редкие знаки)	4,5	
19	III-3	Бассейн рек Чуйского Дов- гакита и Прав. Мочинита	Ореол рассеяния ксенотима (редкие знаки) и монацитта (до 20 г/м ³ , по данным шлихо- вого опробования)	4,5	
22	IV-1	Бассейн р. Ильгидяка	Ореол рассеяния ксенотима (редкие знаки)	4,5	

Номер по карте	Индекс кластера на карте	Название проявления и вид полезного ископаемого	Характеристика проявления	№ используемого материала по списку (Прил. 1)	Примечание
1	I-1	Иттрий — иттербий Чунь	Ореол рассеяния иттрия (0,008%) и иттербия (0,001%) по данным спектрального анализа	4,5	
2	I-1	Левобережье р. Канушки, в 3 км ниже устья р. Калайки	Ореол рассеяния иттрия (0,006—0,02%), иттербия (0,006 %)	4,5	
7	I-3	Верховье левой вершины р. Лев. Брамын	Ореол рассеяния иттрия (0,008%), иттербия (0,001—0,008%), по данным спектрального анализа	4,5	
8	I-3	Верховье р. Большой Сехты	Ореол рассеяния иттрия (0,006%), иттербия (0,001 %) по данным спектрального анализа	4,5	
9	I-4	Верховья рек Большой Сехты и Соболевки	Ореол рассеяния иттрия (0,006—0,008 %) иттербия (0,001 %)	4,5	
4	I-2	Левобережье р. Канушки, в 4,5 км к северо-востоку от устья р. Калайки	Ореол рассеяния иттербия (0,006%) по данным спектрального анализа	4,5	

Составлено в соответствии с методом определения содержания иттрия и иттербия в глиноземистых породах

Неметаллические ископаемые					
6	I-2	Верховье р. Калайки	Ореол рассеяния иттербия (0,008%) по данным спектрального анализа	4,5	
21	III-4	Тальк			

21	III-4	Тальк			
21	III-4	Левобережье р. Чуйского Долгокита, в 20 км от его устья	Пропластики флогопитовых тальковых сланцев в известняках. (Мощность пропластиков от 0,9 до 1,35 м)	4,5	

СОДЕРЖАНИЕ

	Стр.
Введение	3
Стратиграфия	5
Инtrузивные образования	22
Тектоника	37
Геоморфология	42
Полезные ископаемые	44
Подземные воды	47
Литература	48
Приложения	51

Редактор издательства *Л. Г. Рожкова* Техн. редактор *В. В. Романова*
Корректор *Т. Ю. Шульц*

Подписано в печать 18/IX 1969 г.
Формат 60×90^{1/16} Печ. л. 3,5 Уч.-изд. л. 5,9
Тираж 100 экз. Заказ № 05018

Издательство «Недра»
Ленкартфабрика ВАГТ